



## TUGAS AKHIR – TM141585

# ***ANALISIS KERUSAKAN SPHERICAL ROLLER BEARING PADA BOGIE WHEEL STACKER/RECLAIMER BATUBARA***

SARIN AZISTARINI  
02111645000060

Dosen Pembimbing:  
Ir. Suwarmen, PE

JURUSAN TEKNIK MESIN  
Fakultas Teknologi Industri  
Institut Teknologi Sepuluh Nopember  
Surabaya  
2018



## **FINAL PROJECT – TM141585**

# **FAILURE ANALYSIS OF SPHERICAL ROLLER BEARING IN A COAL BOGIE WHEEL STACKER/RECLAIMER**

SARIN AZISTARINI  
02111645000060

Supervisor:  
Ir. Suwarmin, PE

DEPARTMENT OF MECHANICAL ENGINEERING  
Faculty of Industrial Technology  
Sepuluh Nopember Institute of Technology  
Surabaya  
2018

## **LEMBAR PENGESAHAN**

### **ANALISIS KERUSAKAN SPHERICAL ROLLER BEARING PADA BOGIE WHEEL STACKER/RECLAIMER BATUBARA**

#### **TUGAS AKHIR**

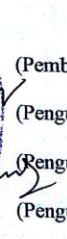
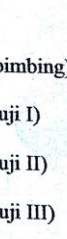
Diajukan Untuk Memenuhi Salah Satu Syarat Memperoleh Gelar  
Sarjana Teknik  
pada  
Bidang Studi Otomasi Industri  
Program Studi S1 Jurusan Teknik Mesin  
Fakultas Teknologi Industri  
Institut Teknologi Sepuluh Nopember

Oleh:

Sarin Azistarini

NRP. 02111645000060

Disetujui oleh Tim Penguji Tugas Akhir

1. Ir. Suwarmin, PE  
(NIP. 196103141987081009)  
  
(Pembimbing)
2. Dr. Eng. Sutikno, S.T., M.T.  
(NIP. 197407032000031001)  
  
(Penguji I)
3. Nur Ikhwan, S.T., M.Eng.  
(NIP. 19670915199512001)  
  
(Renguji II)
4. Ir. Arino Anzip, M.Eng.Sc.  
(NIP. 196107141988031003)  
  
(Penguji III)

**SURABAYA**  
**JULI, 2018**

# **ANALISIS KERUSAKAN SPHERICAL ROLLER BEARING PADA BOGIE WHEEL STACKER/RECLAIMER BATUBARA**

<b>Nama</b>	<b>:</b> Sarin Azistarini
<b>NRP</b>	<b>:</b> 02111645000060
<b>Jurusan</b>	<b>:</b> Teknik Mesin FTI-ITS
<b>Dosen Pembimbing</b>	<b>:</b> Ir. Suwarmin, PE

## **Abstrak**

*Di suatu power plant dalam prosesnya terdapat kegiatan yang disebut dengan coal handling system yaitu memindahkan batu bara dari ship unloader hingga coal bunker. Salah satu alat krusial pada coal handling system yaitu stacker/reclaimer yang berfungsi untuk memindahkan batu bara dari ship unloader ke stock pile maupun dari stock pile ke coal bunker. Akan tetapi menurut data dari power plant pada tahun 2011 – 2017 bearing pada wheel stacker/reclaimer banyak mengalami kerusakan yaitu stacker/reclaimer 1 terdapat 15 kerusakan dan stacker/reclaimer 2 terdapat 18 kerusakan. Padahal sebelumnya kerusakan bearing pada wheel stacker/reclaimer hanya terjadi 1 kerusakan dalam 10 tahun. Hal inilah yang melatar belakangi diangkatnya topik Tugas Akhir ini yaitu untuk menganalisa penyebab dari kerusakan bearing yang menjadi lebih sering.*

*Penelitian ini menggunakan beberapa analisa untuk mengetahui penyebab kerusakan dari bearing yaitu analisa pembebanan dan pelumasan. Digunakan metode rolling contact fatigue untuk menganalisa kerusakan bearing pada wheel stacker/reclaimer yang ditinjau dari sisi pembebanan dan untuk meninjau dari sisi pelumasan digunakan analisa perhitungan pelumasan dengan membandingkan kondisi aktual dan kondisi seharusnya.*

*Hasil yang didapatkan pada Tugas Akhir ini adalah untuk pembebanan kondisi aktual pada bearing masih di bawah pembebanan yang diijinkan yaitu sebesar 293,96 kN dan beban*

*contact fatigue sebesar 440,94 kN sedangkan beban yang diijinkan sebesar 572 kN. Sedangkan untuk jumlah pelumasan yang dibutuhkan pada kondisi aktual tidak memenuhi jumlah pelumasan yang seharusnya yaitu sebesar 7,2 ml/day untuk kondisi aktual sedangkan pelumasan yang dibutuhkan sebesar 11,52 ml/day.*

**Kata kunci:** analisa kegagalan, spherical roller bearing, stacker/reclaimer, contact fatigue

# **FAILURE ANALYSIS OF SPHERICAL ROLLER BEARING IN A COAL BOGIE WHEEL STACKER/RECLAIMER**

Name	: Sarin Azistarini
NRP	: 02111645000060
Department	: Mechanical Engineering FTI-ITS
Supervisor	: Ir. Suwarmin, PE

## **Abstract**

*In a power plant process there is an activity called the coal handling system that is moving coal from the ship unloader to the coal bunker. One of the crucial tools in coal handling system is the stacker/reclaimer, it has function to move coal from the ship unloader to stock pile or from the stock pile to the coal bunker. According to data from the power plant in 2011 – 2017 there are many bearing in wheel stacker/reclaimer suffered damage, there are 15 damage bearing on stacker/reclaimer 1 and 18 damage bearing on stacker/reclaimer 2. Whereas before the damage bearings in wheel stacker/reclaimer occur only 1 damage in 10 years. This is the background of this final project topic is to analyze the causes of damage to bearings that become more frequent.*

*In this study use some analysis to know the causes of damage bearing those are loading and lubrication analysis. To analyze the bearing damage on the wheel stacker using rolling contact fatigue method in terms of loading. To analyze the lubrication using lubrication calculation analysis by comparing the actual condition and the required condition.*

*The results obtained in this Final Project is the actual loading condition on the bearing is under the allowable load that is equal to 293,96 kN and load for contact fatigue is equal to 440,94 kN while the allowable load is 572 kN. While the required amount of lubrication at the actual condition is under the required amount of lubrication of 7.2 ml / day for actual conditions while the required lubrication is 11.52 ml / day.*

**Keywords:** *failure analysis, spherical roller bearing, stacker/reclaimer, contact fatigue*

## KATA PENGANTAR

Alhamdulillah segala puji dan syukur saya panjatkan kehadirat Allah SWT. Karena atas rahmat dan hidayah - Nya, tugas akhir yang berjudul “**Analisis Kerusakan Spherical Roller Bearing pada Bogie Wheel Stacker/Reclaimer Batubara**” ini dapat disusun dan diselesaikan dengan baik dan lancar.

Tugas Akhir ini merupakan salah satu persyaratan yang harus dipenuhi oleh setiap mahasiswa Program Studi S1 Teknik Mesin ITS, sesuai dengan kurikulum yang telah ditetapkan. Selain itu, Tugas Akhir ini juga merupakan suatu bukti yang diberikan almamater dan masyarakat.

Banyak dorongan dan bantuan yang penulis dapatkan selama penyusunan Tugas Akhir ini sampai terselesaiannya laporan. Untuk itu penulis ingin menyampaikan ucapan terima kasih dan penghargaan sebesar-besarnya kepada :

1. Bapak Ir. Suwamin, PE sebagai Dosen Pembimbing yang telah dengan sangat sabar, tidak bosan-bosannya membantu dan memberikan ide serta ilmu hingga terselesaiannya Tugas Akhir ini.
2. Bapak Dosen penguji yang telah memberikan kritik dan saran dalam penyempurnaan dan pengembangan Tugas Akhir ini.
3. Ibu Vivien Suphandani Djanali S.T., ME., PhD. selaku dosen wali yang telah membimbing selama Penulis berkuliah.
4. PT. YTL Jawa Timur, khususnya Bapak Adityawarman Surya Buwana, S.T. dan Bapak Rendy Kristanto, S.T. selaku pembimbing saat pengambilan data
5. Keluarga Penulis, terutama Ayah dr. Ahmad Aziz dan Mama Erma Sari, S.Sos., serta adik-adik tercinta Sandita Azistasari, Jevisa Santrisari Aziz, Sabita Santrisari Aziz yang benar-benar memberikan dorongan semangat dengan cinta dan kasih sayangnya yang tiada batas dan tak terbalaskan, serta doa restunya.
6. Sahabat-sahabat terbaikku Velin, Mbak Naura, Mbak Mega, Alfiana, Menik, dan Astri terima kasih atas bantuan,

- semangat, dan kebersamaan yang tidak akan Penulis lupakan.
7. Abdillah Muhamarram yang telah memberikan semangat dan dorongan dari jauh selama proses penggerjaan Tugas Akhir ini.
  8. Anak bimbingan Bapak Suwarmin, Yoga, Bagus, dan Mas Sapto yang telah berjuang bersama menyelesaikan Tugas Akhir ini.
  9. Seluruh teman-teman angkatan Lintas Jalur S1 Teknik Mesin – ITS 2016, senang bisa mengenal kalian. *See you on top guys!*
  10. Seluruh dosen dan staf pengajar Jurusan S1 Teknik Mesin FTI - ITS, yang telah memberikan ilmunya dan membantu semua selama menimba ilmu di bangku kuliah.
  11. Semua pihak yang tidak dapat disebutkan satu-persatu yang telah membantu memberikan dukungan.

Semoga segala keikhlasan dan kebaikan yang telah diberikan mendapatkan balasan yang terbaik dari Tuhan Yang Maha Esa, Aamiin.

Karena keterbatasan waktu dan kemampuan penulis, sebagai manusia biasa kami menyadari dalam penulisan ini masih terdapat beberapa kesalahan, keterbatasan, dan kekurangan. Oleh karena itu, kami mengharap kritik dan saran membangun sebagai masukan untuk penulis dan kesempurnaan Tugas Akhir ini. Semoga dengan penulisan Tugas Akhir ini dapat bermanfaat bagi semua pihak yang memerlukan, mahasiswa S1 Teknik Mesin FTI-ITS pada khususnya.

Surabaya, 1 Agustus 2018

Penulis

## DAFTAR ISI

<b>HALAMAN JUDUL .....</b>	<b>i</b>
<b>LEMBAR PENGESAHAN .....</b>	<b>iii</b>
<b>ABSTRAK .....</b>	<b>iv</b>
<b>ABSTRACT .....</b>	<b>vi</b>
<b>KATA PENGANTAR .....</b>	<b>viii</b>
<b>DAFTAR ISI .....</b>	<b>x</b>
<b>DAFTAR GAMBAR .....</b>	<b>xiii</b>
<b>DAFTAR TABEL .....</b>	<b>xv</b>
<b>BAB I PENDAHULUAN .....</b>	<b>1</b>
1.1 Latar Belakang .....	1
1.2 Rumusan Masalah .....	2
1.3 Tujuan Penelitian .....	3
1.4 Manfaat Penelitian .....	3
1.5 Batasan Masalah .....	3
1.6 Sistematika Laporan .....	4
<b>BAB II TINJAUAN PUSTAKA .....</b>	<b>5</b>
2.1 Analisa Kegagalan .....	5
2.2 <i>Stacker/reclaimer</i> .....	7
2.3 <i>Bogie Wheel</i> .....	8
2.4 Bantalan ( <i>Bearing</i> ) .....	10
2.5 <i>Spherical Roller Bearing</i> .....	11
2.5.1 Karakteristik <i>Spherical Roller Bearing</i> .....	13
2.6 Pembebanan pada <i>Bearing</i> .....	15
2.6.1 <i>Rolling Contact Fatigue</i> .....	15
2.6.2 Umur Bantalan .....	17
2.7 <i>Stress-strength Interference</i> .....	18
2.8 Pelumasan pada <i>Bearing</i> .....	20

2.8.1 <i>Grease Lubrication</i> .....	20
2.8.2 Jenis <i>Grease Lubrication</i> .....	21
2.8.3 Perhitungan Pelumasan .....	23
<b>BAB III METODOLOGI .....</b>	<b>27</b>
3.1 Diagram Alir Penelitian .....	27
3.2 Metodologi Penelitian .....	29
3.2.1 Studi Lapangan dan Identifikasi Permasalahan ....	30
3.2.2 Pengumpulan Data Kerusakan .....	30
3.2.3 Studi Literatur .....	30
3.2.4 Findings .....	30
3.2.5 Diagnose .....	30
3.2.6 Analyze .....	31
3.2.6.1 Analisa Pembebanan .....	31
3.2.6.2 Analisa Pelumasan .....	31
3.2.7 Identifikasi Penyebab Kerusakan .....	31
3.2.8 Kesimpulan dan Saran .....	31
<b>BAB IV ANALISA DATA DAN PEMBAHASAN .....</b>	<b>33</b>
4.1 Informasi <i>Stacker/reclaimer, Bogie Wheel, Spherical Roller Bearing</i> .....	33
4.2 Riwayat dan Data Kerusakan .....	34
4.2.1 Data Kerusakan .....	34
4.2.2 Foto-foto Kerusakan .....	37
4.2.3 Kondisi Aktual Operasional .....	38
4.3 Hipotesa Penyebab Kerusakan .....	39
4.4 Analisa Pembebanan pada <i>Spherical Roller Bearing</i> .....	40
4.4.1 Pembebanan Tiap <i>Bearing</i> .....	41
4.4.2 <i>Contact Fatigue</i> .....	50
4.4.3 Umur <i>Bearing</i> .....	55
4.5 Analisa Pelumasan pada <i>Spherical Roller Bearing</i> .....	56

4.5.1 Pelumasan Kondisi Seharusnya .....	56
4.5.2 Pelumasan Kondisi Aktual .....	57
<b>BAB V KESIMPULAN DAN SARAN .....</b>	<b>61</b>
5.1 Kesimpulan .....	61
5.2 Saran .....	62
<b>DAFTAR PUSTAKA .....</b>	<b>63</b>

## DAFTAR GAMBAR

Gambar 1.1 Grafik jumlah kerusakan <i>bearing</i> pada <i>bogie wheel stacker/reclaimer</i> .....	2
Gambar 2.1 <i>Stacker/reclaimer</i> di PLTU Paiton Unit 5 dan 6 .....	7
Gambar 2.2 Skema <i>stacker/reclaimer</i> .....	8
Gambar 2.3 <i>Bogie wheel stacker/reclaimer</i> .....	9
Gambar 2.4 Peredaman ketidakrataan rel oleh <i>bogie wheel</i> .....	9
Gambar 2.5 Komponen <i>spherical roller bearing</i> .....	11
Gambar 2.6 Fenomena saat terjadi poros yang memiliki sudut dan poros melengkung pada <i>spherical roller bearing</i> ..	12
Gambar 2.7 Anatomi pecahan pada <i>ball bearing</i> . (a) Perbedaan bentuk dibanding bentuk awal, (b) Bentuk profil dari pecahan <i>ball bearing</i> ( <i>W.A. Glaeser, 1996</i> ) .....	16
Gambar 2.8 Distribusi tegangan pada permukaan saat <i>rolling</i> , <i>sliding</i> , kombinasi keduanya ( <i>R. Ahmed, 2002</i> ) ....	17
Gambar 2.9 Contoh grafik distribusi normal saat kondisi awal material (a), material mengalami penurunan kekuatan (b), material mengalami kegagalan (c) .....	19
Gambar 2.10 <i>Single-shield bearing</i> .....	22
Gambar 2.11 <i>Double-shield bearing</i> .....	22
Gambar 2.12 <i>Open bearing</i> .....	23
Gambar 2.13 Tabel untuk pemilihan <i>bearing factor</i> dan <i>load ratio</i> (Katalog SKF) .....	24
Gambar 2.14 Diagram untuk mengetahui waktu antar pelumasan (Katalog SKF) .....	25
Gambar 3.1 Diagram alir penelitian .....	29
Gambar 4.1 Kerusakan <i>bearing</i> .....	38
Gambar 4.2 <i>Stacker/reclaimer</i> dan beban yang terjadi .....	42
Gambar 4.3 <i>Free body diagram boom</i> .....	43
Gambar 4.4 Sumbu y <i>free body diagram boom</i> .....	44

Gambar 4.5 Sumbu x <i>free body diagram boom</i> .....	44
Gambar 4.6 Kaki <i>stacker/reclaimer</i> .....	46
Gambar 4.7 Posisi kaki <i>stacker/reclaimer</i> .....	47
Gambar 4.8 <i>Free body diagram</i> kaki <i>stacker/reclaimer</i> .....	47
Gambar 4.9 Fluktuasi beban kerja vs kekuatan material .....	49
Gambar 4.10 Distribusi normal beban kerja vs kekuatan material .....	49
Gambar 4.11 Fluktuasi beban <i>contact fatigue</i> vs kekuatan material .....	55
Gambar 4.12 Distribusi normal <i>contact fatigue</i> vs kekuatan material .....	55

## DAFTAR TABEL

Tabel 2.1 Permasalahan dalam kegagalan komponen mesin .....	5
Tabel 2.2 Kasus kegagalan material akibat perawatan komponen mesin .....	6
Tabel 2.3 Penyebab kegagalan dalam komponen mesin .....	7
Tabel 2.4 Spesifikasi <i>bogie wheel</i> .....	10
Tabel 2.5 <i>Perbandingan jenis bantalan dengan beban yang diterima</i> .....	11
Tabel 2.6 Karakteristik <i>spherical roller bearing</i> ( <i>Hamrock and Anderson, 1983</i> ) .....	13
Tabel 2.7 Standar <i>double-row, spherical roller bearing</i> ( <i>Hamrock and Anderson, 1983</i> ) .....	14
Tabel 2.8 Seri dan tipe <i>spherical roller bearing</i> ( <i>Hamrock and Anderson, 1983</i> ) .....	15
Tabel 4.1 Data kerusakan <i>spherical roller bearing</i> .....	34
Tabel 4.2 Spesifikasi yang terdapat pada <i>stacker/reclaimer</i> .....	41
Tabel 4.3 Spesifikasi pelumas distributor ZP-A .....	58
Tabel 4.4 Spesifikasi pelumas distributor VZ-4 .....	59

## BAB I

# PENDAHULUAN

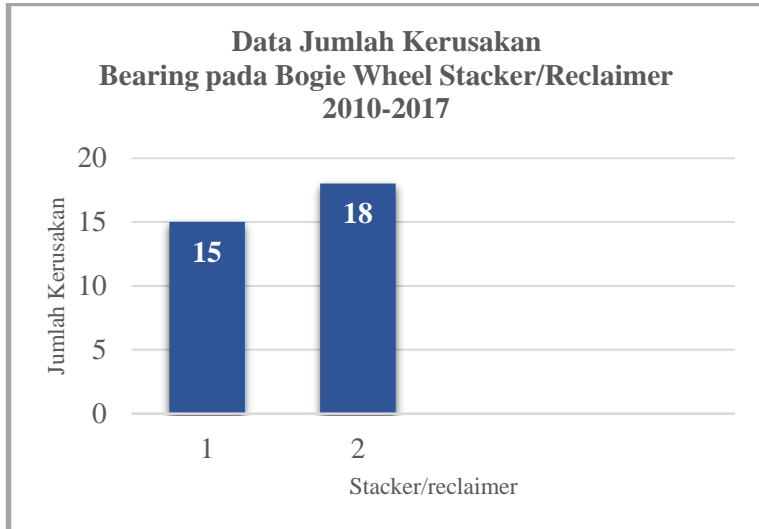
### 1.1 Latar Belakang

Pembangkitan daya untuk *power plant* terdapat suatu proses berupa *coal handling system*, yaitu suplai batu bara dari kapal tongkang ataupun kapal besar hingga sampai *coal bunker* dimana terdapat banyak proses dan peralatan yang terjadi pada sistem tersebut. Salah satu peralatan yang digunakan pada *coal handling system* yaitu *stacker/reclaimer*. Pada *stacker/reclaimer* terdapat dua proses yaitu *stacking* dan *reclaiming*. *Stacking* yaitu memindahkan batu bara dari *ship unloader* ke *stock pile* sedangkan *reclaiming* yaitu memindahkan batu bara dari *stock pile* hingga *coal bunker*. Peranan *stacker/reclaimer* dapat dikatakan krusial pada *coal handling system* dikarenakan apabila terjadi kerusakan total maka akan menghambat pemindahan batu bara dari kapal yang akan mengakibatkan *charge* apabila kapal terlalu lama bersandar di *jetty* dan dapat menghentikan proses pembangkitan daya dikarenakan tidak adanya batu bara pada *coal bunker* yang akan mengakibatkan kerugian pada perusahaan.

Untuk menunjang operasinya suatu *power plant* selalu melakukan aktifitas *maintenance* secara terjadwal ataupun tidak terjadwal pada proses produksinya dengan tujuan untuk memaksimalkan performa mesin agar dapat beroperasi dengan optimal. Salah satu unit kerja di *power plant* yang bertugas melakukan *maintenance* adalah *Material Handling Department*. Pada hakikatnya pemeliharaan sangat dibutuhkan untuk mengatasi berbagai masalah yang sering terjadi terutama pada mesin-mesin yang beroperasi secara kontinu. Adanya strategi pemeliharaan yang baik maka akan meningkatkan keandalan dari komponen atau mesin yang dimiliki oleh perusahaan.

Menurut data dari *power plant* pada tahun 2010-2017, *wheel* pada *stacker/reclaimer* cukup banyak mengalami kerusakan meskipun tidak sampai mengganggu proses pembangkitan daya.

Data frekuensi kerusakan periode 2010-2017 dapat dilihat pada gambar 1.1.



*Gambar 1.1 Grafik jumlah kerusakan bearing pada bogie wheel stacker/reclaimer*

Hipotesa awal, kemungkinan terjadinya kerusakan *bearing* pada *wheel stacker/reclaimer* dikarenakan oleh pembebanan yang berlebih pada masing-masing *bearing* yang tidak sesuai dengan beban maksimal yang dapat diterima oleh *bearing*, sistem pelumasan yang tidak sesuai, dan prosedur pemasangan pada *bearing*. Maka dari itu, dilakukanlah analisa terhadap kegagalan ini untuk membuktikan hipotesa awal tersebut, dan untuk menanggulangi hal tersebut, maka dilakukan analisa kegagalan terhadap *bearing* pada *wheel stacker/reclaimer* agar kegagalan ini tidak terjadi lagi.

## 1.2 Rumusan Masalah

Rumusan masalah dalam penelitian ini adalah:

1. Faktor apa yang menyebabkan kegagalan *spherical roller bearing* pada *bogie wheel stacker/reclaimer*?
2. Bagaimana mekanisme kegagalan pada komponen *spherical roller bearing* pada *bogie wheel stacker/reclaimer*?

### **1.3 Tujuan Penelitian**

Tujuan dalam penelitian ini adalah:

1. Menganalisa faktor penyebab terjadinya kegagalan *spherical roller bearing* pada *bogie wheel stacker/reclaimer*.
2. Menganalisa mekanisme kegagalan pada komponen *spherical roller bearing* pada *bogie wheel stacker/reclaimer*.

### **1.4 Manfaat Penelitian**

Manfaat dalam penelitian ini adalah:

1. Bagi perusahaan, hasil penelitian ini diharapkan dapat menjadi acuan penanganan apabila terjadi kegagalan yang sama dikemudian hari, dari segi penyebab kegagalan maupun solusi yang ditawarkan.
2. Bagi peneliti, hasil penelitian ini diharapkan dapat menjadi dasar pengembangan pada ilmu pengetahuan berikutnya.

### **1.5 Batasan Masalah**

Agar penelitian ini menjadi terarah dan memberikan kejelasan analisis permasalahan, maka dilakukan pembatasan permasalahan sebagai berikut:

1. Desain dan spesifikasi *spherical roller bearing* pada *bogie wheel stacker/reclaimer* memenuhi standard operasional.
2. Proses operasional sesuai dengan standard prosedur.
3. Data yang digunakan adalah historis kerusakan *wheel stacker/reclaimer* pada tahun 2010 hingga 2017.
4. Sistem yang diteliti adalah *stacker/reclaimer* di *power plant*.

## **1.6 Sistematika Laporan**

Laporan penelitian ini akan disusun secara sistematis dibagi dalam beberapa bab, dengan rincian sebagai berikut:

### **BAB I PENDAHULUAN**

Bab ini berisikan penjelasan latar belakang, rumusan masalah, tujuan, manfaat penelitian, batasan masalah, dan sistematika laporan.

### **BAB II TINJAUAN PUSTAKA**

Bab ini berisikan teori-teori dan fakta-fakta yang digunakan sebagai dasar untuk melakukan rujukan dan pembahasan permasalahan yang diangkat pada Tugas Akhir ini.

### **BAB III METODOLOGI**

Bab ini akan dijelaskan mengenai proses dari penelitian serta analisa data meliputi cara pengambilan data dan pengolahan data.

### **BAB IV ANALISA DATA DAN PEMBAHASAN**

Bab ini berisi analisa kegagalan dari *spherical roller bearing* pada *bogie wheel stacker/reclaimer* dari hasil pengolahan data yang telah diambil.

### **BAB V KESIMPULAN DAN SARAN**

Bab ini berisi tentang kesimpulan dari keseluruhan hasil penelitian dan saran yang dapat dijadikan perbaikan dan pengembangan untuk penelitian selanjutnya.

## **BAB II**

### **TINJAUAN PUSTAKA**

#### **2.1 Analisa Kegagalan**

Analisa kegagalan dapat diartikan sebagai pemeriksaan/pengujian terhadap komponen-komponen atau struktur yang mengalami kerusakan beserta kondisi yang menyebabkan kegagalan dengan tujuan untuk mengetahui penyebab dari kegagalan tersebut.

Disimpulkan bahwa, analisa kegagalan berujung pada observasi pada komponen-komponen yang rusak. Pengamatan pola patahan yang rusak adalah kunci bagi seluruh proses analisa kegagalan, oleh sebab itu pengamatan secara makrokopis dan mikrokopis harus dilaksanakan secara bertahap. Pengujian mekanik diperlukan karena secara umum kegagalan disebabkan oleh gaya-gaya yang bekerja dari lingkungan kerja komponen.

Menurut sumber-sumber penelitian yang ada di dunia industri (Brooks,2002), faktor penyebab kegagalan yang sering terjadi di dunia industri dapat dikarenakan :

##### **1. Faktor kesalahan pemilihan material**

Hasil penelitian mengenai faktor kegagalan material yang dominan yaitu faktor kesalahan dalam memilih material. Tabel 2.1 di bawah ini menunjukkan statistik tentang permasalahan dalam kasus kegagalan material.

*Tabel 2.1 Permasalahan dalam kegagalan komponen mesin*

<b>Permasalahan</b>	<b>%</b>
Kesalahan pemilihan material	38
Cacat produksi	15
Kesalahan perlakuan panas	15
Kesalahan desain mekanik	11
Kondisi operasi yang berlebihan	8
Kondisi lingkungan yang tidak terkontrol	6
Pemeriksaan yang kurang baik	5
Material yang tidak jelas	2

## 2. Perawatan komponen yang kurang baik

Proses perawatan komponen mesin yang kurang baik termasuk salah satu penyebab kegagalan yang paling dominan. Tabel 2.2 menunjukan data mengenai kasus kegagalan material yang terjadi.

*Tabel 2.2 Kasus kegagalan material akibat perawatan komponen mesin*

<b>Permasalahan</b>	<b>%</b>
Perawatan yang kurang baik	44
Cacat saat fabrikasi	17
Defisiensi desain	16
Pemakaian yang abnormal	10
Cacat material	7
Penyebab yang tidak jelas	6

## 3. Kesalahan dalam perancangan komponen

Faktor kesalahan dalam proses perancangan komponen mesin adalah sebagai berikut:

- Kegagalan ulet akibat pembebahan yang melebihi kekuatan material.
- Kegagalan getas akibat beban kejut.
- Kegagalan pada temperature tinggi (pemuluran).
- *Static delayed fracture.*
- Proses perancangan yang terlalu banyak memicu konsentrasi tegangan seperti takikan.
- Analisa tegangan komponen yang kurang detail yang menyebabkan rawan terjadi kegagalan akibat *overload*.
- Kesalahan dalam menentukan material dari komponen mesin sehingga mempengaruhi hitungan yang dilakukan.

## 4. Kondisi kerja yang ekstrim

Permasalahan yang spesifik dalam kegagalan komponen mesin akibat kondisi kerja yang ekstrim disajikan dalam Tabel 2.3.

Tabel 2.3 Penyebab kegagalan dalam komponen mesin

Penyebab Kegagalan	%
Korosi	29
Kelelahan ( <i>fatigue</i> )	25
Kegagalan getas ( <i>brittle fracture</i> )	16
Kelebihan beban	11
Korosi temperatur tinggi	7
Korosi retak tegang, korosi lelah, penggetasan hydrogen	6
Pemuluran ( <i>creep</i> )	3
Abrasif, erosi	3

## 2.2 Stacker/reclaimer

*Stacker/reclaimer* merupakan peralatan yang dimiliki oleh *power plant* untuk melakukan proses *stacking* dan *reclaiming*. Proses *stacking* yaitu pemindahan batu bara dari konveyor menuju ke *stock pile*, sedangkan proses *reclaiming* yaitu pemindahan batu bara dari *stock pile* menuju ke *coal bunker*.

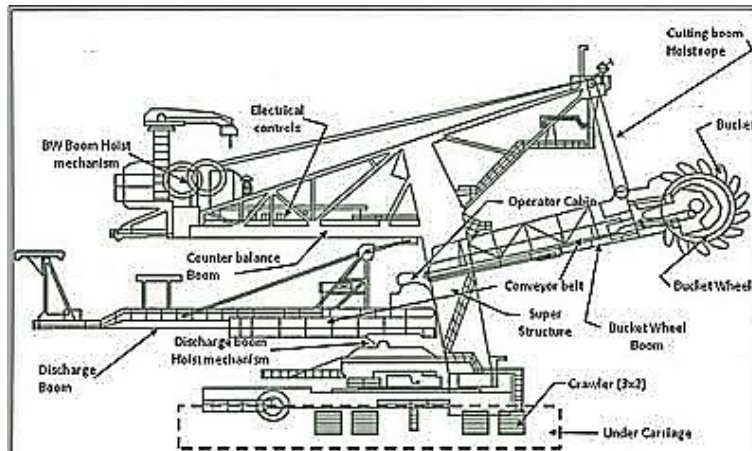


Gambar 2.1 Stacker/reclaimer di PLTU Paiton Unit 5 dan 6

*Stacker/reclaimer* pada *power plant* mampu memindahkan 1000 ton per jam batubara. Batu bara tersebut dipindahkan menuju *plant* yang masing-masing memiliki kapasitas 640 MW.

*Stacker/reclaimer* menggunakan sistem penggerak hidrolis dan motor listrik. Penggerak hidrolis digunakan untuk *stacker/reclaimer* bergerak maju mundur dan berputar, sedangkan

penggerak motor listrik digunakan untuk memutar alat pengereknya.



Gambar 2.2 Skema stacker/reclaimer

*Stacker/reclaimer* terdiri dari suatu *bucket wheel* yang ditempatkan pada ujung/akhir dari *slewing* dan *bucket wheel boom* yang terpasang pada suatu *reversible boom conveyor*. Komponen-komponen tersebut di atas dimuatkan pada suatu *mobile gantry* yang akan bergerak secara paralel ke *stock pile*. *Mobile gantry* bergerak sepanjang jalur rel yang dipasang di area penimbunan. Batu bara yang dikeruk kemudian dibawa ke *belt conveyor* untuk dilakukan proses *conveying* yang menuju *power plant*. Pada *stock pile* terdapat 2 buah *stacker/reclaimer*.

### 2.3 *Bogie Wheel*

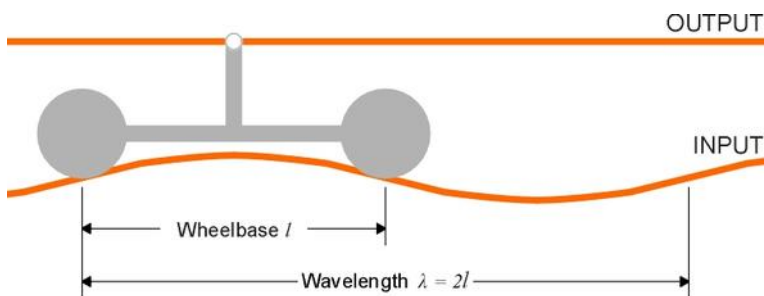
*Bogie wheel* merupakan sistem kesatuan roda pada *stacker/reclaimer* yang terdiri dari dua perangkat roda atau lebih yang digabungkan oleh rangka yang dilengkapi dengan sistem pemegasan, penggereman, dengan atau tanpa peralatan penggerak (traksi motor atau *gear box*) dan *slip protection device*, serta berfungsi sebagai pendukung rangka dasar dari badan

*stacker/reclaimer*. *Bogie wheel* dapat dilepas dan dipasangkan kembali jika sedang dilakukan perawatan.



Gambar 2.3 *Bogie wheel stacker/reclaimer*

*Bogie wheel* dapat meredam efek yang diakibatkan oleh rel yang bergelombang naik turun. Bodi *stacker/reclaimer* akan tertumpu pada titik tengah *bogie wheel* sehingga akan membagi defleksi yang terjadi diantara 2 rodanya. Hal ini akan menyebabkan *stacker/reclaimer* lebih stabil walau rel tidak rata / bergelombang naik turun.



Gambar 2.4 Peredaman ketidakrataan rel oleh *bogie wheel*

*Bogie wheel* pada *stacker/reclaimer* milik *power plant* berjumlah 26 buah dengan menggunakan bahan AISI 4140, dengan spesifikasi sebagai berikut:

*Tabel 2.4 Spesifikasi bogie wheel*

Travelling speed	24 m/min 0.4 m/s
Track wheel diameter	630 mm
Gauge	6.6 m
Travel rail	UIC 60
Length of rail	355 m
Number of non-drive wheel	9 pcs
Number of drive wheel	9 pcs
Extreme wheel load in operation	269 kN
Number of rail clamps	2 pcs
Holding power the rail clamp	160 kN ( $\mu = 0.25$ )
Driving power per drive	7.5 kW
Drive pier leg	6 pcs
Drive shear leg	3 pcs

\*UIC (Union Internationale des Chemins de Fer)

## 2.4 Bantalan (*Bearing*)

*Bearing* atau bantalan, memiliki arti alat atau tempat yang digunakan untuk menampung poros benda, berputar sedemikian rupa hingga perputaran poros berjalan lancar. Berdasarkan pengertian tersebut, bantalan digunakan untuk menahan beban yang terjadi akibat dari suatu gerak pada salah satu bagian mesin, dengan kata lain prinsip bantalan adalah menahan beban.

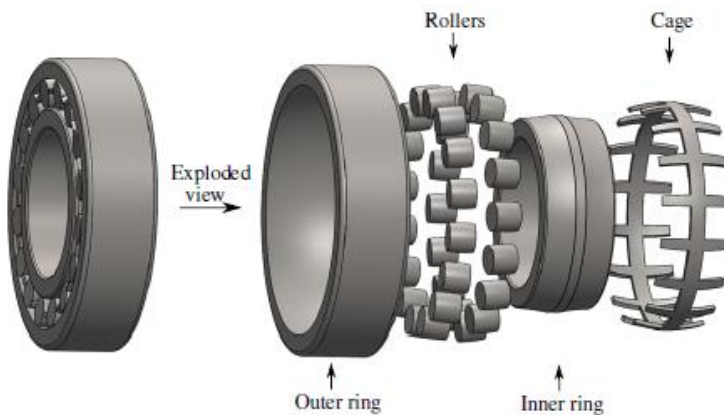
Bantalan digunakan untuk menerima dua buah beban, yaitu beban aksial dan beban radial. Beban radial terjadi terhadap pusat dari bantalan sepanjang jari – jarinya, beban aksial terjadi searah dengan sumbu poros. Beban yang diterima bantalan merupakan salah satu dasar pemilihan jenis bantalan.

*Tabel 2.5 Perbandingan jenis bantalan dengan beban yang diterima*

Jenis Bantalan	Kemampuan menerima beban radial	Kemampuan menerima beban aksial
Cylindrical roller	Sempurna	Buruk
Needle roller	Sempurna	Buruk
Spherical roller	Sempurna	Cukup/Baik
Tapered roller	Sempurna	Sempurna

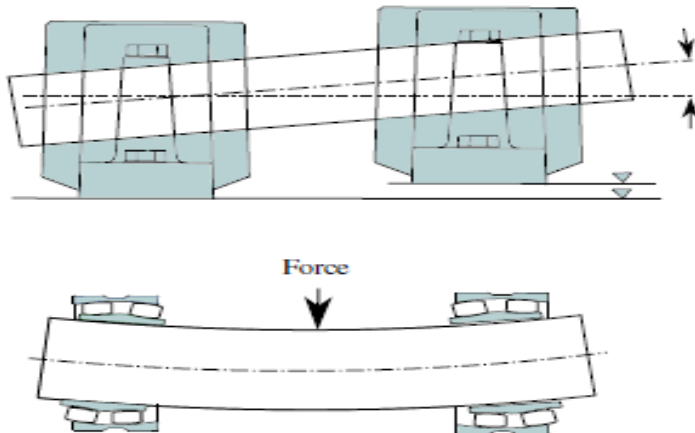
## **2.5 Spherical Roller Bearing**

Pada gambar 4, *spherical roller bearing* mempunyai dua baris *roller*, sebuah *outer ring* berbentuk sebuah *spherical raceway*, dan sebuah *inner ring* berbentuk dua *spherical raceway* yang tegak lurus dengan sumbu *bearing*, dan sebuah *cage*. Pada *spherical roller bearing*, bagian *inner ring* dikunci pada *outer ring* sehingga hanya dapat bergerak arah aksial. *Spherical roller bearing* memiliki *roller* sebanyak dua baris maka memiliki kemampuan untuk membawa beban yang besar, gaya aksial di kedua arah, dan gaya radial yang besar, sehingga *bearing* ini banyak digunakan untuk aplikasi industri berat.



*Gambar 2.5 Komponen spherical roller bearing*

*Spherical roller bearing* memiliki *roller* dan *spherical raceways* yang simetris, maka *bearing* ini dapat digunakan pada poros yang memiliki sudut dan bila terjadi lengkungan tidak meningkatkan gesekan dan mengurangi waktu penggunaan *bearing*.



Gambar 2.6 Fenomena saat terjadi poros yang memiliki sudut dan poros melengkung pada *spherical roller bearing*

*Spherical roller bearing* digunakan pada banyak aplikasi yang memungkinkan untuk poros berotasi dan membutuhkan *alignment* untuk membawa beban yang besar, putaran rendah, dan gesekan rendah.

Pada *wheel stacker/reclaimer* milik *power plant* menggunakan *spherical roller bearing* seri SKF 22222 E sebanyak 26 buah sesuai dengan jumlah dari *boogie wheel*.

### 2.5.1 Karakteristik Spherical Roller Bearings

*Tabel 2.6 Karakteristik spherical roller bearing  
(Hamrock and Anderson, 1983)*

Tipe	Ukuran bor, mm		Kapasitas relatif, kN		Batas kecepatan, r/min	Toleransi mis-alignment
	Min	Max	Radial	Thrust		
<b>Single row, barrel or convex</b>	20	320	2.10	0.20	0.50	$\pm 2^\circ$
						
<b>Double row, barrel or convex</b>	25	1250	2.40	0.70	0.50	$\pm 1^\circ 30'$
						
<b>Thrust</b>	85	360	0.10 <sup>a</sup> 0.10 <sup>b</sup>	1.80 <sup>a</sup> 2.40 <sup>b</sup>	0.35-0.50	$\pm 3^\circ$
						
<b>Double row, concave</b>	50	130	2.40	0.70	0.50	$\pm 1^\circ 30'$
						

<sup>a</sup>symmetric rollers, <sup>b</sup>asymmetric rollers

*Tabel 2.7 Standar double-row, spherical roller bearing  
(Hamrock and Anderson, 1983)*

Tipe	Desain roller	Desain penahan	Penuntun roller	Kontak roller race
<b>SLB</b> 	Simetris	Pemesinan, roller sebagai penuntun	Pemandu diberi sekat	Garis modifikasi, diantara race
<b>SC</b> 	Simetris	Pengecapan, race sebagai penuntun	Cincin pemandu mengambang	Garis modifikasi, diantara race
<b>SD</b> 	Asimetris	Pemesinan, race sebagai penuntun	Inner-ring di tengah bingkai	Kontak garis, outer; point kontak, inner

*Tabel 2.8 Seri dan tipe spherical roller bearing  
(Hamrock and Anderson, 1983)*

Seri	Tipe	Ukuran bor, mm		Kapasitas relatif <sup>a</sup> , kN		Faktor batas kecepa- tan, r/min
		Min	Max	Radial	Thrust	
202	Single-row barrel	20	320	1.0	0.11	0.5
203	Single-row barrel	20	240	1.7	.18	.5
204	Single-row barrel	25	110	2.1	.22	.4
212	SLB	35	75	1.0	.26	.6
213	SLB	30	70	1.7	.53	.6
22, 22K	SLB, SC, SD	30	320	1.7	.46	.6
23, 23K	SLB, SC, SD	40	280	2.7	1.0	.6
30, 30K	SLB, SC, SD	120	1250	1.2	.29	.7
31, 31K	SLB, SC, SD	110	1250	1.7	.54	.6
32, 32K	SLB, SC, SD	100	850	2.1	.78	.6
39, 39K	SD	120	1250	.7	.18	.7
40, 40K	SD	180	250	1.5	---	.7

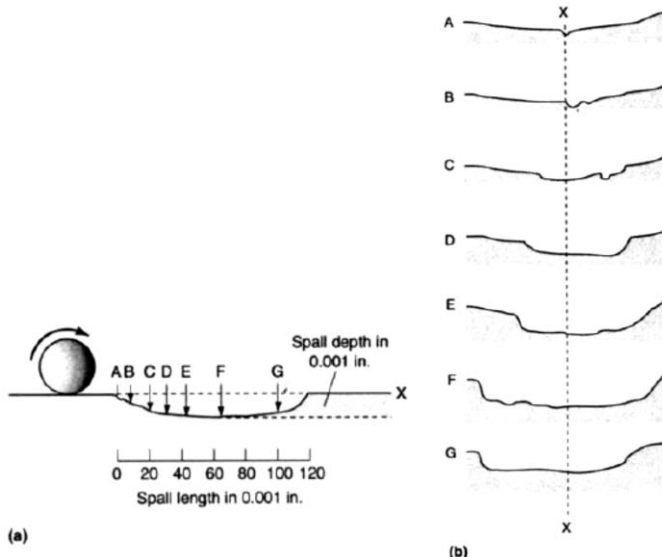
<sup>a</sup>Kapasitas pembebatan berdasarkan beberapa jenis dari spherical roller bearing. Untuk beberapa ukuran, spherical roller bearing mempunyai kapasitas pembebatan radial sama dengan cylindrical roller bearing.

## 2.6 Pembebatan pada Bearing

### 2.6.1 Rolling Contact Fatigue

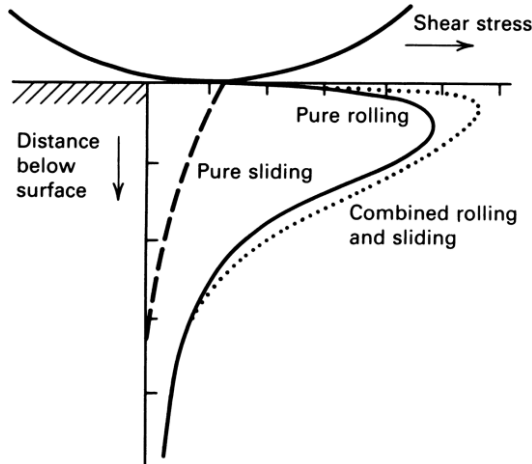
*Rolling contact fatigue* dapat didefinisikan sebagai mekanisme perambatan retak yang disebabkan oleh tegangan yang terjadi pada permukaan karena terjadi *rolling*. Hal ini dapat menyebabkan hilangnya material seperti pengelupasan, korosi,

retak, hingga kegagalan material. *Rolling contact fatigue* berbeda tidak seperti teori keuasan pada umumnya karena didasarkan pada beban siklik saat kondisi *rolling* maupun *sliding* dikondisi *asperity level*.



Gambar 2.7 Anatomi pecahan pada *ball bearing*. (a) Perbedaan bentuk dibanding bentuk awal, (b) Bentuk profil dari pecahan *ball bearing* (W.A. Glaeser, 1996)

Mekanisme dari *contact fatigue* yaitu disebabkan oleh tegangan yang dihasilkan oleh kontak yang bergulir dan terkonsentrasi di suatu titik yang menyebabkan regangan plastik. Regangan ini akan terakumulasi karena beban yang sama dibebankan pada suatu titik tersebut hingga mulai terjadi retak dan akan terbentuk pecahan. *Contact fatigue* dapat disebabkan oleh kondisi geometri dari permukaan dan sedikit pengaruh dari panas, kondisi lingkungan, dan material pembentuk yang heterogen. Analisa tegangan *Hertz* mengasumsikan bentuk *circular*, *elliptical*, dan garis akan menyebabkan tekanan maksimum jika terjadi kontak dengan permukaan melengkung.



Gambar 2.8 Distribusi tegangan pada permukaan saat *rolling*, *sliding*, dan kombinasi keduanya (R. Ahmed, 2002)

Bantalan yang dipakai merupakan *spherical roller bearing* dan terjadi kontak dengan *outer* dan *inner ring* maka rumus yang digunakan untuk mencari besar *contact fatigue*, yaitu:

$$F_r = \frac{n \cdot F_{max}}{Z} \quad \dots \dots \dots \quad (2.1)$$

Keterangan:

$F_r$  = gaya dari *contact fatigue* (kN)

n = jumlah *rolling element* tiap baris (buah)

$F_{max}$  = gaya yang diterima *bearing* (kN)

Z = jumlah *rolling element* yang mengalami *contact fatigue* (buah)

## 2.6.2 Umur Bantalan

Untuk menghitung umur bantalan dapat menggunakan rumus berikut:

$$L = \left(\frac{C}{P}\right)^b x \left(\frac{1000000}{(60x_n)}\right) \dots \quad (2.2)$$

## Keterangan:

L = umur bantalan (jam)

C = beban dinamis yang diterima bantalan

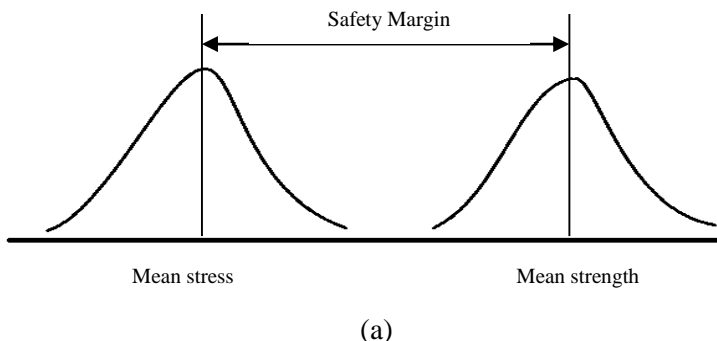
P = beban ekuivalen bantalan

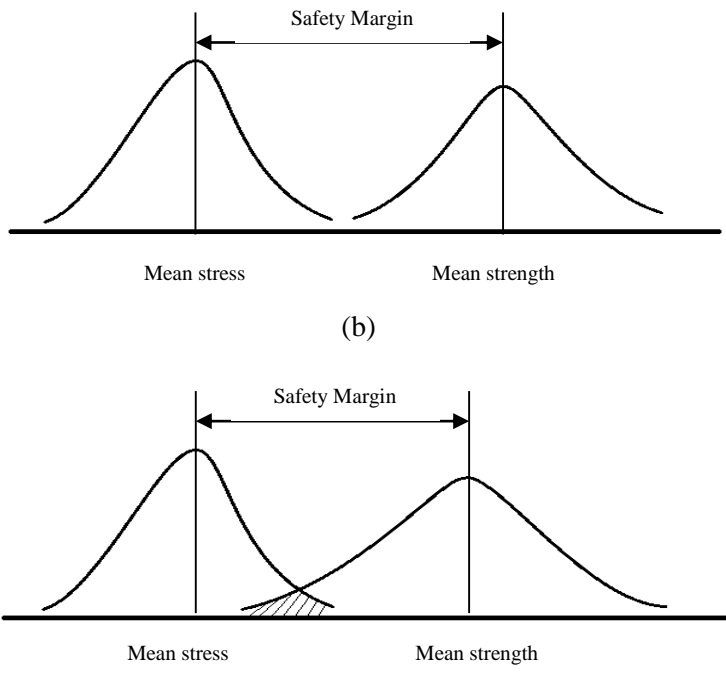
b = koefisien kontak (3 untuk bentuk ellips, 10/3 untuk bentuk persegi panjang)

n = putaran (rpm)

## **2.7 Stress-strength Interference**

Metode stress-strength interference dapat digunakan untuk mengidentifikasi kegagalan komponen. Tegangan yang diterima saat beroperasi dan kekuatan material dipresentasikan dalam distribusi acak yang didefinisikan oleh probability density functions (PDF). Gambar 2.9 menunjukkan contoh grafik distribusi normal tegangan dan kekuatan.





Gambar 2.9 Contoh Grafik Distribusi Normal Saat Kondisi Awal Material (a), Material Mengalami Penurunan Kekuatan (b), Material Mengalami Kegagalan (c)

Gambar 2.9(a) menunjukkan kondisi awal material, terlihat bahwa jarak antara grafik tegangan operasi dan kekuatan material jauh dan tidak berpotongan, pada kondisi ini material aman untuk digunakan. Gambar 2.9(b) menunjukkan bahwa material mengalami penurunan kekuatan karena pemakaian, namun belum terjadi perpotongan antara grafik tegangan operasi dan kekuatan material. Gambar 2.9(c) menunjukkan bahwa grafik tegangan operasi telah berpotongan dengan grafik kekuatan material, perpotongan kurva tegangan yang diterima dan kekuatan

material membentuk suatu luasan yang disebut *area of interference*. *Area of interference* menunjukkan probabilitas kegagalan suatu komponen. Semakin besar *area of interference*, probabilitas kegagalan komponen semakin besar, sehingga tidak aman untuk digunakan,

## 2.8 Pelumasan pada *Bearing*

Karena fungsinya yang krusial, *bearing* membutuhkan perawatan yang baik sehingga didapatkan umur kerja yang panjang. Salah satu bentuk perawatan *bearing* yang utama adalah lubrikasi atau pelumasan. Berikut adalah fungsi lubrikasi pada *bearing*:

1. Membentuk lapisan film lubrikasi diantara dua bidang kontak sehingga dapat membantu menahan beban kerja serta mencegah keausan dan kerusakan prematur.
2. Menyerap panas yang timbul.
3. Mencegah kontaminasi kotoran-kotoran yang berasal dari luar.
4. Menghindari suara bising.
5. Mencegah korosi pada *bearing*.
6. Sebagai sistem *sealing* tambahan.

### 2.8.1 *Grease Lubrication*

*Grease* adalah zat *lubricant* yang berstruktur semi-solid. *Grease* dibuat dari minyak mineral atau juga nabati yang dicampur dengan zat pengental sejenis sabun. Terkadang ditambahkan pula dengan zat aditif seperti PTFE, grafit, dan molibdenum desulfit, untuk memperbaiki sifat-sifat pelumasnya.

*Grease* digunakan pada mekanisme *bearing* yang hanya membutuhkan sedikit lubrikasi, dimana tidak perlu menggunakan oli sebagai *lubricant*. Ia juga berfungsi untuk mencegah masuknya kotoran-kotoran masuk ke *bearing*. Sisi negatif dari penggunaan *grease* adalah gesekan pada bearing yang lebih tinggi jika dibandingkan dengan penggunaan oli, hal ini disebabkan karena nilai viskositasnya yang tinggi.

Berikut adalah beberapa jenis *grease bearing* yang diklasifikasikan berdasarkan jenis bahan dasar serta fungsinya:

1. *Mineral Grease*

Jenis ini menggunakan bahan dasar utama dari mineral minyak bumi, yang dikentalkan oleh bahan sabun. Tipe ini biasa digunakan pada *bearing-bearing* mesin industri. Dapat bekerja pada temperatur tinggi, terutama yang berbahan dasar sintetis.

2. *Silicone Grease*

Tipe ini menggunakan bahan pengental silika yang tidak akan membentuk struktur kristal di dalamnya. *Grease* tipe ini tidak akan merusak *seal* yang terbuat dari karet karena bahan dasarnya yang tidak menggunakan minyak bumi.

3. *Food-Grade Grease*

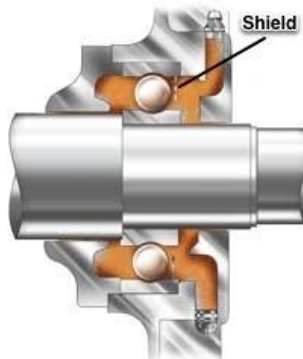
*Grease* jenis ini menggunakan bahan dasar minyak nabati. Ia digunakan sebagai pelumas pada *bearing-bearing* mesin yang melakukan kontak langsung dengan makanan. Industri manufaktur yang memproduksi makanan pasti menggunakan pelumas jenis ini pada mesinnya.

### **2.8.2 Jenis *Grease Lubrication***

Penggunaan *grease* pada *bearing* dapat diklasifikasikan berdasarkan desain *bearing* tersebut menjadi tiga, yaitu:

1. *Single-shield bearing*

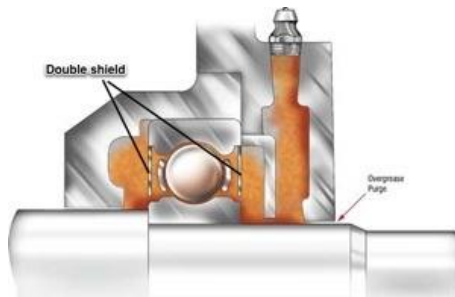
Tipe ini menggunakan sebuah *bearing* yang memiliki desain khusus dimana pada salah satu sisinya dibuat sebuah dinding tipis (*shield*). Dinding ini berfungsi untuk menjaga agar kotoran yang tercampur dengan *grease* di luar dinding tidak masuk ke sisi *roller*. Desain ini akan lebih memperpanjang usia bearing karena kotoran tidak akan secara mudah masuk ke sisi *roller*.



Gambar 2.10 Single-shield bearing

## 2. Double-shield Bearing

Sama dengan tipe sebelumnya, hanya saja kali ini terdapat dua dinding tipis di kedua sisi *roller*. Dengan desain ini akan didapatkan perlindungan yang lebih maksimal terhadap *roller*. Sirkulasi *grease* terjadi dengan perlahan pada saat mesin berputar dan menciptakan gaya sentrifugal pada bearing tersebut.

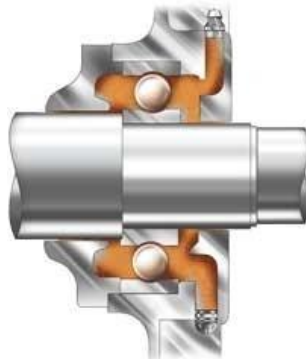


Gambar 2.11 Double-shield bearing

## 3. Open Bearing

Berbeda dengan dua tipe sebelumnya, tipe ini tidak menggunakan dinding (*shield*) untuk melindungi *roller*.

Namun jenis ini adalah yang paling cocok digunakan untuk mesin dengan beban kerja yang tinggi, sehingga membutuhkan sirkulasi *grease* lebih besar untuk kebutuhan pendinginan.



*Gambar 2.12 Open bearing*

### **2.8.3 Perhitungan Pelumasan**

Untuk mengetahui pelumasan yang digunakan pada *bearing* telah sesuai atau tidak dengan spesifikasi dan keadaan di lapangan, dilakukan perhitungan yang meliputi jarak antar pemberian pelumasan dan jumlah pelumasan yang dibutuhkan. Perhitungan pelumasan berdasarkan pada katalog SKF sebagaimana *bearing* yang digunakan pada *power plant* merupakan SKF 22222 E.

### 1. Waktu Pelumasan

Untuk menghitung jarak antar pelumasan dapat dilakukan dengan menggunakan rumus sebagai berikut:

- Faktor kecepatan (*speed factor*)

## Keterangan:

**n** = kecepatan rotasi (r/min)

$d_m$  = diameter rata-rata bearing (mm)

$$= 0,5 (d + D)$$

$b_f$  = bearing factor (tabel)

- Rasio beban (*load ratio*)

$$\text{Load ratio} = C/P \dots \quad (2.4)$$

## Keterangan:

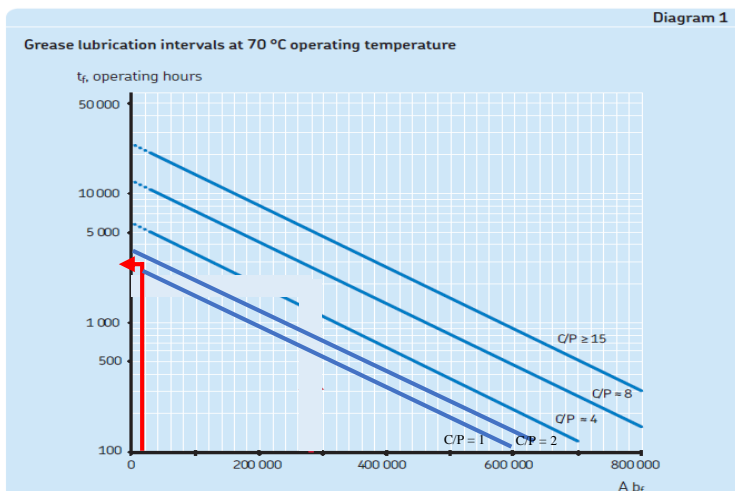
C = beban dinamis bearing (kN)

P = beban dinamis ekuivalen bearing (kN)

Table 2

Bearing factor $b_f$ and recommended limits for the speed factor A				
Load ratio $F_a/F_r$ (Bearing series)	Bearing factor $b_f$	Recommended limits for the speed factor A for load ratio C/P ≥ 15	C/P = 8	C/P = 4
–	–	mm/min		
$F_a/F_r \leq e$ and $d_m \leq 800$ mm				
213, 222, 238, 239 series	2	350 000	200 000	100 000
223, 230, 231, 232, 240, 248, 249 series	2	250 000	150 000	80 000 <sup>1)</sup>
241 series	2	150 000	80 000 <sup>1)</sup>	50 000 <sup>1)</sup>
$F_a/F_r \leq e$ and $d_m > 800$ mm				
238, 239 series	2	230 000	130 000	65 000
230, 231, 240, 248, 249 series	2	170 000	100 000	50 000
241 series	2	100 000	50 000 <sup>1)</sup>	30 000 <sup>1)</sup>
$F_a/F_r > e$ all series	6	150 000	50 000 <sup>1)</sup>	30 000 <sup>1)</sup>

*Gambar 2.13 Tabel untuk pemilihan bearing factor dan load ratio (Katalog SKF)*



**Gambar 2.14** Diagram untuk mengetahui waktu antar pelumasan (Katalog SKF)

## 2. Jumlah Pelumas

Pelumasan yang digunakan pada *power plant* berupa pelumasan secara otomatis sehingga untuk menghitung jumlah pelumasan:

## Keterangan:

$G_k$  = jumlah grease yang dibutuhkan (g/h)

D = diameter luar bearing (mm)

B = tebal total bearing (mm)

*(Halaman ini sengaja dikosongkan)*

## **BAB III**

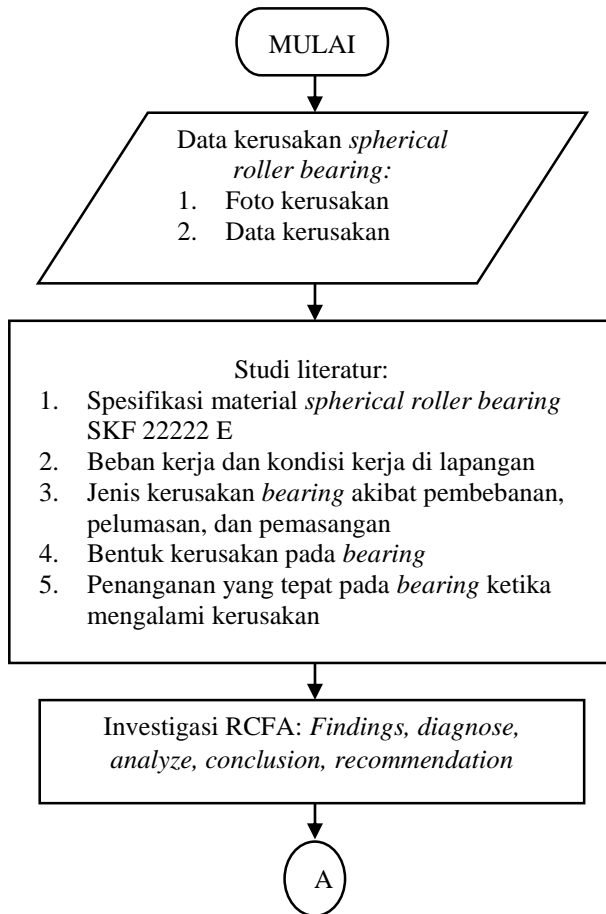
### **METODOLOGI PENELITIAN**

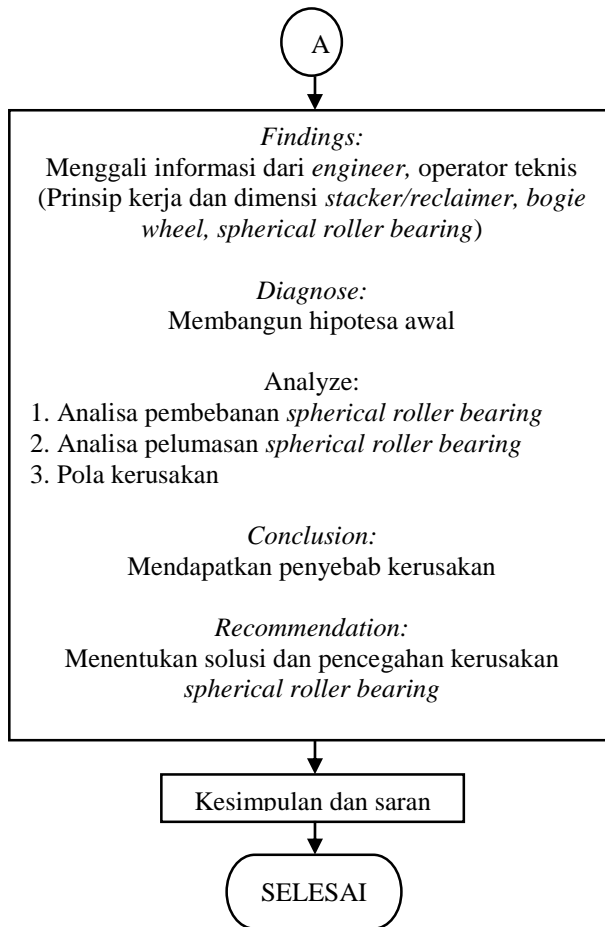
Setelah melakukan tinjauan pustaka dari bab 2, maka selanjutnya membuat metodologi penelitian yang dipakai sebagai acuan penggerjaan dalam penelitian tugas akhir.

Pada bab ini akan dijelaskan langkah-langkah metodologi penelitian sebagai acuan penyelesaian kasus yang dibahas pada tugas akhir ini. Langkah-langkah tersebut dibagi dalam enam tahap, yaitu tahap studi lapangan dan identifikasi permasalahan, pengumpulan data historis, studi literatur, melakukan pengamatan makroskopis, analisa perhitungan, dan memberikan alternatif penyelesaian.

#### **3.1 Diagram Alir Penelitian**

Alur penelitian bertujuan untuk membuat penelitian lebih terstruktur dan sistematis. Dalam sub bab ini akan dibahas bagaimana urutan langkah penelitian serta metode-metode yang dipergunakan selama penelitian. Diawali dari tahap investigasi lapangan hingga didapatkan sebuah hasil yaitu rekomendasi yang tepat untuk mengantisipasi kerusakan yang sama di masa yang akan datang. Lebih jelasnya dapat dilihat pada penjelasan di bawah ini:





Gambar 3.1 Diagram alir penelitian

### 3.2 Metodologi Penelitian

Diagram alir penelitian pada gambar 3.1 dapat dijelaskan lebih lanjut secara mendalam dengan beberapa sub-bab berikut:

### **3.2.1 Studi Lapangan dan Identifikasi Permasalahan**

Pada tahap studi lapangan, dilakukan pengamatan terhadap beberapa peralatan pada pembangkit yang sedang dalam kondisi *breakdown*, ataupun merupakan komponen kritis dari pembangkit. Terdapat beberapa pilihan peralatan yang sering mengalami kerusakan, namun *bogie wheel* pada *stacker/reclaimer* memiliki permasalahan yang lebih kompleks akibat kegagalan *bearing* dan merupakan salah satu peralatan kritis yang ada di pabrik. Tahap ini meliputi mempelajari secara detail desain *stacker/reclaimer* dan *bogie wheel*, serta pengamatan visual dari kerusakan *bogie wheel* yang ada yakni pada rusaknya *bearing*.

### **3.2.2 Pengumpulan Data Kerusakan**

Data kerusakan dikumpulkan, dimulai dari *record* kerusakan, *work order* yang dilakukan oleh pihak mekanik, spesifikasi *bogie wheel*, spesifikasi bahan komponen *bogie wheel*. Dari data historis, dapat dilihat kerusakan apa saja yang pernah terjadi pada *bogie wheel* selama beroperasi.

### **3.2.3 Studi Literatur**

Studi literatur merupakan tahap mempelajari referensi-referensi yang ada, baik *handbook* maupun jurnal. Studi literatur berguna untuk mendukung penulis melakukan analisa kerusakan yang terjadi serta mengetahui penelitian-penelitian terdahulu yang telah dilakukan oleh peneliti lain.

### **3.2.4 Findings**

Merupakan tahapan yang dilakukan untuk menggali informasi dari *engineer* maupun operator teknis di lapangan mengenai prinsip kerja dan dimensi dari *stacker/reclaimer*, *bogie wheel*, dan *spherical roller bearing*.

### **3.2.5 Diagnose**

Tahap ini berguna untuk melakukan hipotesa awal mengenai kemungkinan yang menjadi penyebab dari kerusakan *spherical roller bearing* berdasarkan data dan informasi yang telah didapat.

### 3.2.6 Analyze

Penulis melakukan tahap analisis yaitu *hypothesis testing* dan *root cause identification* untuk mengidentifikasi akar masalah dan menganalisa hipotesis awal. Tahapan yang dilakukan akan dijelaskan pada sub-bab berikut:

#### 3.2.6.1 Analisa Pembebanan

Melakukan analisa pembebanan antara beban yang dapat diterima oleh *bearing* dengan beban kerja di lapangan dengan menggunakan metode *rolling contact fatigue*.

#### 3.2.6.2 Analisa Pelumasan

Melakukan analisa sistem pelumasan yang digunakan pada *bearing* apakah telah sesuai dengan kondisi di lapangan.

### 3.2.7 Identifikasi Penyebab Kerusakan

Pembahasan yang dilakukan berdasarkan analisa yang telah dilakukan nantinya akan menjawab permasalahan yang telah dikemukakan pada perumusan masalah yaitu:

1. Menganalisa faktor yang menjadi penyebab kegagalan *spherical roller bearing* pada *bogie wheel stacker/reclaimer*.
2. Mengatahui mekanisme kegagalan pada komponen *spherical roller bearing* pada *bogie wheel stacker/reclaimer* dan mendapatkan langkah penanggulangan.

### 3.2.8 Kesimpulan dan Saran

Tahap ini merupakan tahap akhir dari penelitian Tugas Akhir. Analisa yang telah dilakukan akan dapat menjelaskan penyebab terjadinya kerusakan *bearing* berdasarkan data yang telah dilakukan perhitungan dan pembahasan. Berdasarkan data tersebut pula akan diperoleh solusi yang dapat dijadikan sebagai kesimpulan agar dapat dijadikan pertimbangan untuk pihak *power plant* dalam mrngatasi kasus kerusakan *bearing*, sehingga diharapkan tidak terjadi lagi.

*(Halaman ini sengaja dikosongkan)*

## **BAB IV**

### **ANALISA DATA DAN PEMBAHASAN**

Bab ini akan membahas mengenai penyebab kegagalan yang memicu terjadinya kerusakan *spherical roller bearing* pada *bogie wheel stacker/reclaimer* di suatu *power plant*. Analisa penyebab kerusakan dilakukan dengan mengacu pada data kerusakan, foto kerusakan, kondisi operasional, dan informasi penunjang lainnya yang didapatkan dari pihak *power plant*. Setelah itu dilakukan hipotesis dan pengolahan data dengan analisa perhitungan yang meliputi perhitungan pembebanan, pelumasan, serta mengamati prosedur pemasangan *bearing* untuk mengetahui penyebab kegagalan dari *spherical roller bearing* pada *bogie wheel stacker/reclaimer*.

#### **4.1 Informasi *Stacker/reclaimer, Bogie Wheel, Spherical Roller Bearing***

*Stacker/reclaimer* pada suatu *power plant* berfungsi untuk memindahkan batubara sebanyak 1031,8 ton/jam dan memiliki dua fungsi yaitu *stacking* dan *reclaiming*, pada proses *stacking* yaitu memindahkan batubara dari konveyor yang berasal *ship unloader* menuju ke *stockpile*, sedangkan proses *reclaiming* yaitu memindahkan batubara dari *stockpile* menuju ke *coal bunker* pada setiap *plant*. Saat proses *stacking*, *bucket* pada *stacker/reclaimer* akan terisi batubara dari konveyor dan berjalan sepanjang rel untuk meletakkan batubara di *stockpile*. Sedangkan saat proses *reclaiming*, *bucket* pada *stacker/reclaimer* akan mengeruk batubara di *stockpile*.

Saat melakukan proses-proses tersebut, *stacker/reclaimer* dilengkapi oleh *bogie wheel* sebagai pendukung rangka dasar dari badan *stacker/reclaimer* yang memiliki berat 892 ton untuk berat kosong dan dengan kecepatan 6 rpm. Jumlah *bogie wheel* yang dimiliki oleh *stacker/reclaimer* sebanyak 26 buah. Setiap *bogie wheel* memiliki *bearing* yang berjenis *spherical roller bearing* seri SKF 22222 E sebanyak 26 buah pula.

## 4.2 Riwayat dan Data Kerusakan

Data yang didapat dari suatu *power plant* akan menjadi acuan dasar atau referensi dalam mengidentifikasi kerusakan *spherical roller bearing* pada *bogie wheel stacker/reclaimer* adalah sebagai berikut:

- a. Data kerusakan
- b. Foto-foto kerusakan
- c. Kondisi aktual operasional

### 4.2.1 Data Kerusakan

Di bawah ini adalah tabel dari data kerusakan *spherical roller bearing* pada *bogie wheel stacker/reclaimer* pada tahun 2010-2017 untuk *stacker/reclaimer* 1 dan 2 yang didapat dari suatu *power plant*.

Tabel 4.1 Data kerusakan *spherical roller bearing*

Stacker/reclaimer 1					
No	Data Kerusakan	Tanggal Laporan	Tanggal Pengerjaan	Penanganan	Eksekutor
1.	Gantry wheel bearing S6	21/01/2011	27/01/2011	Penggantian gantry wheel bearing S6	Mekanik
2.	Bogie wheel bearing	21/05/2012	30/05/2012	Penggantian bogie wheel bearing	Mekanik
3.	Gantry wheel bearing U13	2/05/2013	3/05/2013	Penggantian gantry wheel bearing U13	Mekanik
4.	Gantry wheel bearing S6	3/07/2014	5/07/2014	Penggantian gantry wheel bearing S6	Mekanik
5.	Gantry wheel bearing U11	30/09/2014	2/10/2014	Penggantian gantry wheel bearing U11	Mekanik
6.	Gantry wheel bearing U7	19/11/2014	20/11/2014	Penggantian gantry wheel bearing U7	Mekanik

<b>7.</b>	Gantry wheel bearing S2	23/11/2015	24/11/2015	Penggantian gantry wheel bearing S2	Mekanik
<b>8.</b>	Bogie wheel bearing U15	3/01/2016	7/01/2016	Penggantian bogie wheel bearing U15	Mekanik
<b>9.</b>	Gantry wheel bearing U13	2/05/2016	3/05/2016	Penggantian gantry wheel bearing U13	Mekanik
<b>10.</b>	Bogie wheel bearing U4	14/06/2016	15/06/2016	Penggantian bogie wheel bearing U4	Mekanik
<b>11.</b>	Gantry wheel bearing U9	5/07/2016	25/07/2016	Penggantian gantry wheel bearing U9	Mekanik
<b>12.</b>	Gantry wheel bearing U12	23/08/2016	25/08/2016	Penggantian gantry wheel bearing U12	Mekanik
<b>13.</b>	Gantry wheel bearing U10	11/09/2016	13/09/2016	Penggantian gantry wheel bearing U10	Mekanik
<b>14.</b>	Gantry wheel bearing S8	14/06/2017	16/06/2017	Penggantian gantry wheel bearing S8	Mekanik
<b>15.</b>	Gantry wheel bearing U2	31/10/2017	1/11/2017	Penggantian gantry wheel bearing U2	Mekanik
<b>Stacker/reclaimer 2</b>					
<b>1.</b>	Gantry wheel bearing S3	10/01/2013	17/01/2013	Penggantian gantry wheel bearing S3	Mekanik
<b>2.</b>	Gantry wheel bearing S8	15/03/2013	25/03/2013	Penggantian gantry wheel bearing S8	Mekanik
<b>3.</b>	Gantry wheel bearing U11	17/04/2013	17/04/2013	Penggantian gantry wheel bearing U11	Mekanik

<b>4.</b>	Gantry wheel bearing U16	10/06/2013	11/06/2013	Penggantian gantry wheel bearing U16	Mekanik
<b>5.</b>	Gantry wheel bearing S2	5/09/2013	6/09/2013	Penggantian gantry wheel bearing S2	Mekanik
<b>6.</b>	Gantry wheel bearing U14	1/10/2013	2/10/2013	Penggantian gantry wheel bearing U14	Mekanik
<b>7.</b>	Gantry wheel bearing U8	27/11/2014	28/11/2014	Penggantian gantry wheel bearing U8	Mekanik
<b>8.</b>	Gantry wheel bearing U7	24/12/2014	5/01/2015	Penggantian gantry wheel bearing U7	Mekanik
<b>9.</b>	Gantry wheel bearing S6	28/01/2015	30/01/2015	Penggantian gantry wheel bearing S6	Mekanik
<b>10.</b>	Gantry wheel bearing U2	10/03/2015	11/03/2015	Penggantian gantry wheel bearing U2	Mekanik
<b>11.</b>	Gantry wheel bearing U9	25/03/2015	30/03/2015	Penggantian gantry wheel bearing U9	Mekanik
<b>12.</b>	Gantry wheel bearing S10	29/12/2015	30/12/2015	Penggantian gantry wheel bearing S10	Mekanik
<b>13.</b>	Gantry wheel bearing U6	28/03/2016	29/03/2016	Penggantian gantry wheel bearing U6	Mekanik
<b>14.</b>	Gantry wheel bearing S5	23/05/2016	1/06/2016	Penggantian gantry wheel bearing S5	Mekanik
<b>15.</b>	Gantry wheel bearing U15	26/08/2016	31/08/2016	Penggantian gantry wheel bearing U15	Mekanik

16.	Gantry wheel bearing U1	7/10/2016	26/10/2016	Penggantian gantry wheel bearing U1	Mekanik
17.	Gantry wheel bearing U10	29/11/2016	29/11/2016	Penggantian gantry wheel bearing U10	Mekanik
18.	Gantry wheel bearing S7	24/11/2017	5/12/2017	Penggantian gantry wheel bearing S7	Mekanik

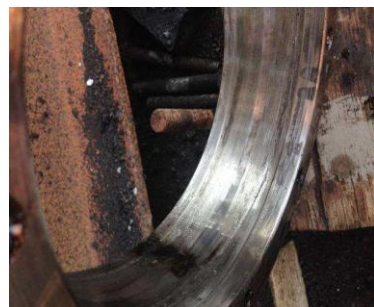
Dari tabel 4.1 diketahui bahwa kerusakan yang terjadi pada *spherical roller bearing* bergantian letaknya di utara maupun selatan baik di *stacker/reclaimer* 1 dan 2 dengan jumlah kerusakan rata-rata 17 kerusakan dalam rentang tahun 2010-2017. Rusaknya *bearing* menyebabkan terganggunya proses pemindahan batubara dikarenakan dilakukan mengganti *bearing* yang rusak dengan yang baru.

#### 4.2.2 Foto-foto Kerusakan

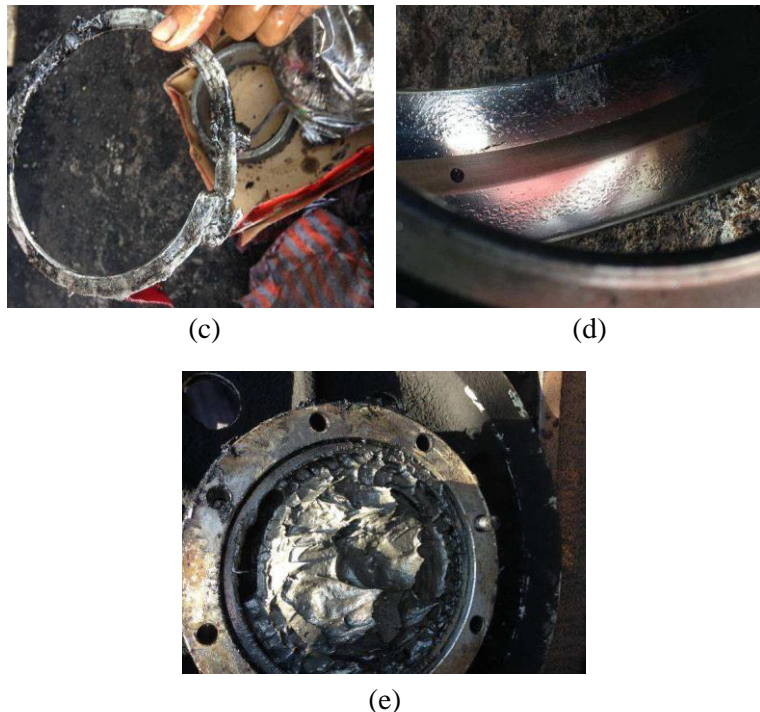
Gambar 4.1 di bawah ini adalah foto-foto kerusakan *spherical roller bearing* yang didapat dari *power plant*.



(a)



(b)



Gambar 4.1 Kerusakan bearing akibat, (a) Keausan, (b) Korosi, (c) Retak, (d) Pengelupasan, (e) Pengotoran

Gambar 4.1 menunjukkan kerusakan-kerusakan yang terjadi pada *spherical roller bearing* di bagian *outer ring*, *inner ring*, dan *cage* yang disebabkan oleh banyak faktor seperti keausan, korosi, retak, pengelupasan, dan pengotoran.

#### 4.2.3 Kondisi Aktual Operasional

Data kondisi aktual yang diperoleh dari *power plant* adalah sebagai berikut:

1. Bagian yang rusak pada *bearing* terjadi pada *outer ring*, *inner ring*, dan *cage*. Kerusakan *bearing* dapat menyebabkan rusaknya *wheel* sehingga saat mengganti *bearing* otomatis mengganti *wheel*.
2. Kondisi operasi saat *stacker/reclaimer* bekerja yaitu pada kecepatan 6 rpm, membawa batubara sebanyak 500 ton/jam saat proses *reclaiming*, berat kosong *stacker/reclaimer* 600 ton, ditutupi oleh 26 *bogie wheel* dengan 1 buah *spherical roller bearing* pada setiap *wheel*.
3. Pada saat *bearing* rusak dan dilakukan penggantian *bearing*, *stacker/reclaimer* yang sedang dalam perbaikan berhenti operasi dan digantikan kerjanya oleh *stacker/reclaimer* yang lain. *Bearing* diganti dengan tipe dan seri yang sama yaitu SKF 22222 E.

### **4.3 Hipotesis Penyebab Kerusakan**

*Bearing* pada *bogie wheel* merupakan elemen penting pada *stacker/reclaimer* karena jika *bearing* rusak maka *stacker/reclaimer* tidak dapat beroperasi dan mengganggu proses pembangkitan daya.

Berdasarkan studi literatur yang dilakukan, terdapat beberapa faktor yang dapat menjadi penyebab kerusakan pada *spherical roller bearing*, antara lain:

#### *1. Fatigue*

*Fatigue* atau kelelahan adalah bentuk dari kegagalan yang terjadi pada struktur karena beban dinamik yang berfluktuasi di bawah *yield strength* yang terjadi dalam waktu yang berulang-ulang. Terdapat 3 fase dalam kelelahan yaitu permukaan retak (*initial crack*), penyebaran retak (*crack propagation*), dan patah (*final crack*). Mekanisme dari permulaan umumnya dimulai dari *crack initiation* yang terjadi pada permukaan material yang lemah atau daerah dimana terjadi konsentrasi tegangan.

## 2. Overload

*Overload* merupakan keadaan ketika beban yang diterima melebihi beban maksimum yang diizinkan atau di atas *yield strength*. Beban yang berlebih akan menimbulkan deformasi pada struktur material dan akan terjadi *fracture* saat mencapai nilai *ultimate strength*.

## 3. Pelumasan

Pelumasan merupakan faktor yang harus diperhatikan untuk benda yang beroperasi karena dengan tidak sesuaiya pelumasan atau kurangnya pelumasan akan menyebabkan timbulnya panas, mengakibatkan goresan akibat gesekan pada permukaan, dan saat keausan berlebih akan menyebabkan keseluruhan *bearing* mengalami kerusakan.

## 4. Material Bearing

Material *bearing* merupakan hal penting yang harus dianalisa karena meskipun menggunakan tipe dan seri *bearing* yang sama, dapat memiliki material pembentuk *bearing* yang berbeda berdasarkan Negara pembuatan *bearing* tersebut.

## 5. Pemasangan

Pemasangan *bearing* yang salah berupa tidak sesuaiya toleransi antara *bearing* dan *shaft*. Apabila toleransi berlebihan, *inner race* akan dipaksa mengembang dan akan terjadi pembengkokan *bearing* yang akan menyebabkan kerusakan.

## 4.4 Analisa Pembebanan pada *Spherical Roller Bearing*

Berdasarkan kebutuhan batubara yang diperlukan pada *power plant* dan ditinjau dari banyaknya kapal yang datang setiap minggu untuk menyuplai batubara, maka beban yang bekerja pada *spherical roller bearing* dapat dihitung.

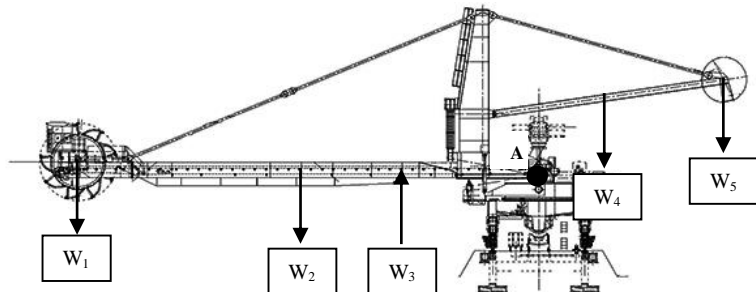
Perhitungan beban pada *spherical roller bearing* diperlukan data berupa beban batubara, beban *stacker/reclaimer*, jarak setiap titik pada *boom*, sudut yang digunakan untuk mengangkat batubara, dan jumlah *bearing*. Data-data tersebut dirangkum pada tabel 4.2 di bawah ini.

*Tabel 4.2 Spesifikasi yang Terdapat pada Stacker/reclaimer*

<b>Spesifikasi/Tipe/Nilai</b>	
<b>Kedatangan kapal</b>	Kapal besar : 100.000 ton/minggu Kapal tongkang: 30.000 ton/minggu
<b>Pengangkutan batubara</b>	- Reclaiming Tertinggi: 800 ton/jam Terendah: 200 ton/jam Rata-rata: 500 ton/jam - Stacking Rata-rata: 125 ton/jam
<b>Beban stacker/reclaimer</b>	<i>Super structure</i> : 470 ton <i>Bucket wheel</i> : 13,53 ton <i>Counterweight</i> : 130 ton <i>Counterweight boom</i> : 6,11 ton <i>Boom</i> : 25,239 ton
<b>Jarak di titik boom</b>	Tumpuan – bucket : 30 m Tumpuan – <i>counterweight</i> : 26,6 m Tumpuan – titik berat <i>boom</i> ; 15 m Tumpuan – hidraulik : 4,5 m
<b>Sudut lengan boom</b>	45°
<b>Jumlah kaki</b>	Ditopang 3 buah kaki
<b>Bearing</b>	Tipe : <i>Spherical Roller Bearing</i> Seri : SKF 22222 E <i>Basic dynamic load rating</i> : 572 kN <i>Basic static load rating</i> : 640 kN Jumlah : 26 buah

#### 4.4.1 Pembebanan Tiap Bearing

Gaya yang bekerja pada setiap bearing dapat dihitung dengan cara mencari gaya yang terjadi pada tumpuan *boom* terlebih dahulu kemudian ditambah dengan beban *super structure* sehingga didapat beban total. Beban total tersebut nanti akan dikali dengan sudut-sudut yang terdapat pada kaki *stacker/reclaimer* dan dicari gaya yang terbesar. Gambar 4.2 merupakan *stacker/reclaimer* kondisi normal dan beban-beban yang terjadi.



Gambar 4.2 Stacker/reclaimer dan beban yang terjadi

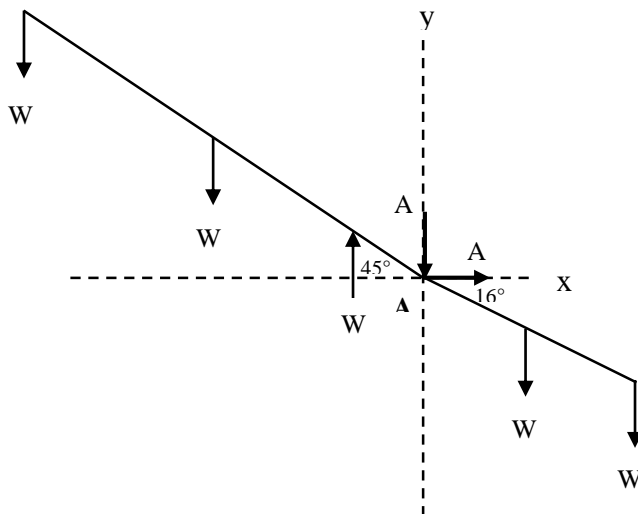
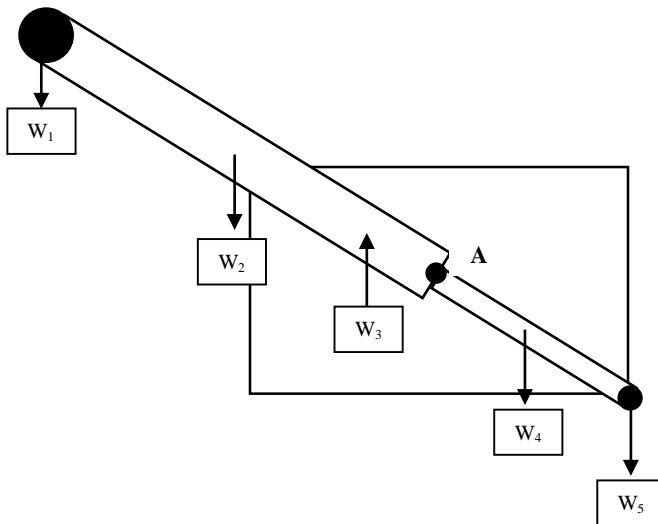
Keterangan:

- W<sub>1</sub>:** Beban *bucket* dan batubara
- W<sub>2</sub>:** Beban *boom*
- W<sub>3</sub>:** Beban hidraulik
- W<sub>4</sub>:** Beban *boom counterweight*
- W<sub>5</sub>:** Beban *counterweight*
- A :** Tumpuan pada *slewing bearing*

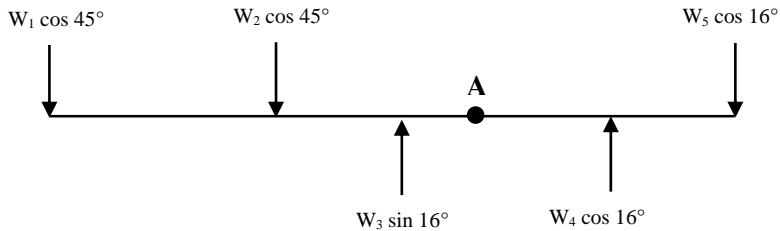
Perhitungan dilakukan saat posisi *boom* keadaan normal tidak membentuk sudut, posisi *boom* membentuk sudut 45° ke atas, dan posisi *boom* membentuk sudut 45° ke bawah.

Akan tetapi perhitungan yang akan dicantumkan yaitu saat *boom* membentuk sudut 45° ke atas karena akan menghasilkan beban tumpuan terbesar. Alasan diambil beban tumpuan terbesar dikarenakan apabila saat beban tumpuan terbesar masih dalam kondisi aman, maka saat beban tumpuan di bawah maksimal maka pasti komponen/sistem akan aman.

Gambar 4.3 merupakan *free body diagram* untuk kondisi *boom* membentuk sudut 45° ke atas.

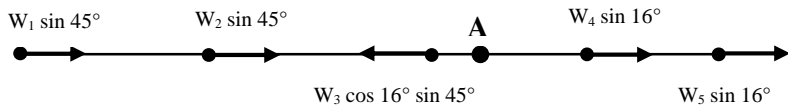


Gambar 4.3 Free body diagram boom  $45^\circ$  ke atas

Sumbu y

Gambar 4.4 Sumbu y free body diagram boom

$$\begin{aligned}
 +\swarrow \quad & \Sigma F_y = 0 \\
 & W_1 \cos 45 + W_2 \cos 45 - W_3 \sin 16 \cdot \cos 45 + W_4 \cos 16 + \\
 & W_5 \cos 16 + A_y = 0 \\
 & 1382,8 \text{ kN} (\cos 45) + 159,36 \text{ kN} (\cos 45) - \\
 & 200 \text{ kN} (\sin 16) \cdot (\cos 45) + 60 \text{ kN} (\cos 16) + \\
 & 1300 \text{ kN} (\cos 16) + A_y = 0 \\
 & 977,787 \text{ kN} + 112,684 \text{ kN} - 38,981 \text{ kN} + 57,675 \text{ kN} \\
 & + 1249,640 \text{ kN} + A_y = 0 \\
 & A_y = -2358,805 \text{ kN}
 \end{aligned}$$

Sumbu x

Gambar 4.5 Sumbu x free body diagram boom

$$\begin{aligned}
 \rightarrow \quad & \Sigma F_x = 0 \\
 & W_1 \sin 45 + W_2 \sin 45 - W_3 \cos 16 \cdot \sin 45 + W_4 \sin 16 + \\
 & W_5 \sin 16 + A_x = 0
 \end{aligned}$$

$$\begin{aligned}
 & 1382,8 \text{ kN} (\sin 45) + 159,36 \text{ kN} (\sin 45) - \\
 & 200 \text{ kN} (\cos 16) . (\sin 45) + 60 \text{ kN} (\sin 16) + \\
 & 1300 \text{ kN} (\sin 16) + A_x = 0 \\
 & 977,787 \text{ kN} + 112,684 \text{ kN} - 135,942 \text{ kN} + 16,538 \text{ kN} + \\
 & 358,328 \text{ kN} + A_x = 0 \\
 & A_x = -1329,395 \text{ kN}
 \end{aligned}$$

$$\begin{aligned}
 \text{Jadi, } A &= \sqrt{A_x^2 + A_y^2} \\
 &= \sqrt{(-1329,395)^2 + (-2358,805)^2} \\
 &= 2707,6285 \text{ kN}
 \end{aligned}$$

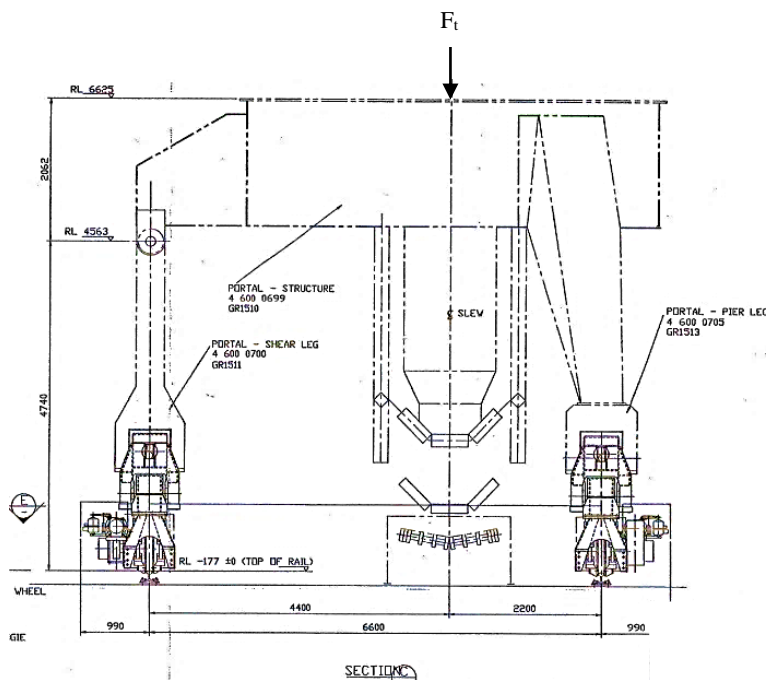
### Momen

$$\begin{aligned}
 + \curvearrowright \Sigma M_A &= 0 \\
 -W_1 (30m) \cos 45 - W_2 (15m) \cos 45 + W_3 (4,5m) \sin 16 . \cos 45 + \\
 W_4 (11,231m) \cos 16 + W_5 (22,463m) \cos 16 &= 0 \\
 -1382,8 (30m) \cos 45 - 159,36 (15m) \cos 45 + \\
 200 (4,5m) \sin 16 . \cos 45 + 60 (11,231m) \cos 16 + \\
 1300 (22,463m) \cos 16 &= 0 \\
 -29333,617 - 1690,268 + 175,414 + 647,755 + 1321,592 &= 0 \\
 M_A &= -28879,124 \text{ kNm}
 \end{aligned}$$

### Beban total di slewing bearing

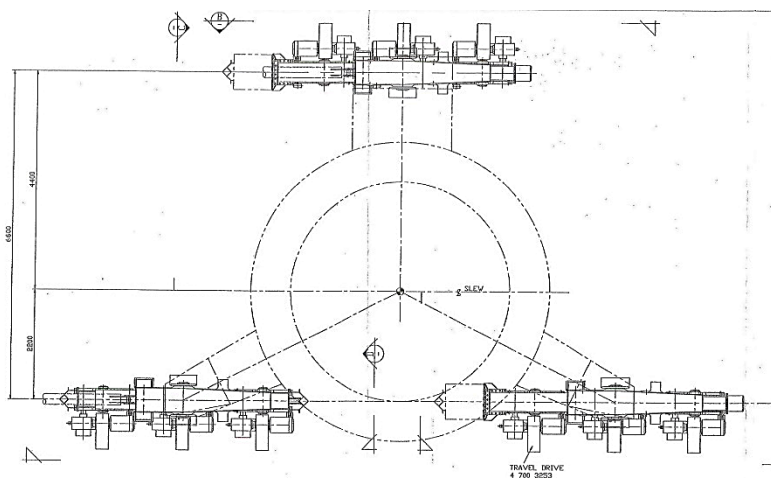
$$\begin{aligned}
 F_t &= A + \text{super structure} \\
 &= 2707,6285 \text{ kN} + 2800 \text{ kN} \\
 &= 5507,6285 \text{ kN}
 \end{aligned}$$

Setelah mengetahui beban total di *slew bearing*, selanjutnya mencari beban yang diterima setiap *bearing* pada *bogie wheel*. Gambar 5.5 merupakan gambar dari kaki *stacker/reclaimer*.

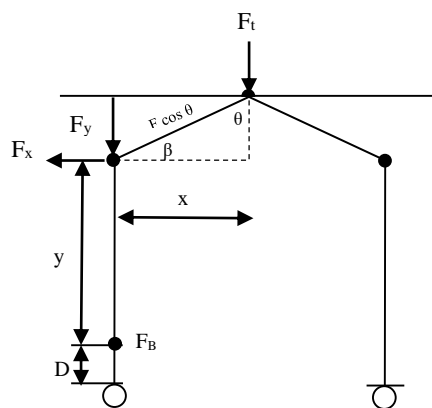


*Gambar 4.6 Kaki stacker/reclaimer*

Beban  $F_t$  dibagi 3 dikarenakan ditumpu oleh 3 kaki sehingga beban masing-masing kaki yaitu 1835,876 kN, kemudian gaya tersebut direaksikan ke arah horizontal dan vertikal. Gambar 5.6 menunjukkan posisi kaki pada *stacker/reclaimer*.



Gambar 4.7 Posisi kaki stacker/reclaimer



Gambar 4.8 Free body diagram kaki stacker/reclaimer

- Tinjauan horizontal

$$\begin{aligned} F_x &= (F \cos \theta) \cos \beta \\ &= (1835,876 \text{ kN} \cos 25) \cos 65 \\ &= 703,181 \text{ kN} \end{aligned}$$

- Tinjauan vertikal

$$\begin{aligned} F_y &= (F \cos \theta) \sin \beta \\ &= (1835,876 \text{ kN} \cos 25) \sin 65 \\ &= 1507,977 \text{ kN} \end{aligned}$$

#### Beban tumpuan kaki

$$\Sigma B = 0$$

$$F_y \cdot x + F_x \cdot y + F_B \cdot D = 0$$

$$1507,977 \text{ kN} (0 \text{ m}) + 703,181 \text{ kN} (3,035 \text{ m}) + F_B (0,605 \text{ m}) = 0$$

$$0 + 2134,154 \text{ kNm} + F_B (0,605 \text{ m}) = 0$$

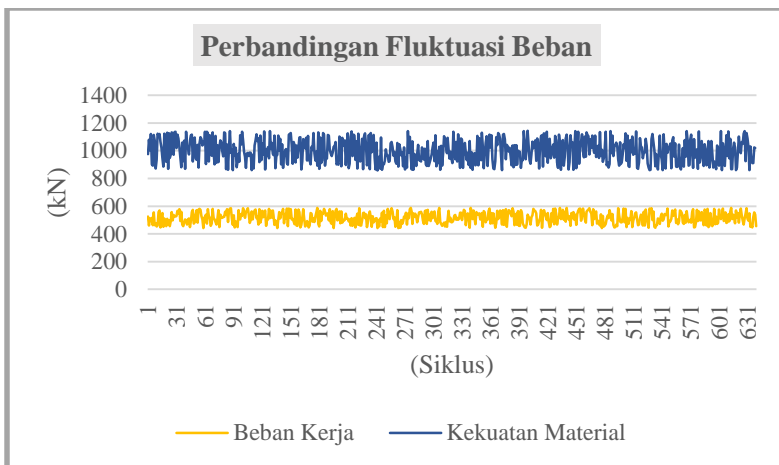
$$F_B (0,605 \text{ m}) = 2134,154 \text{ kNm}$$

$$F_B = 3527,527 \text{ kN}$$

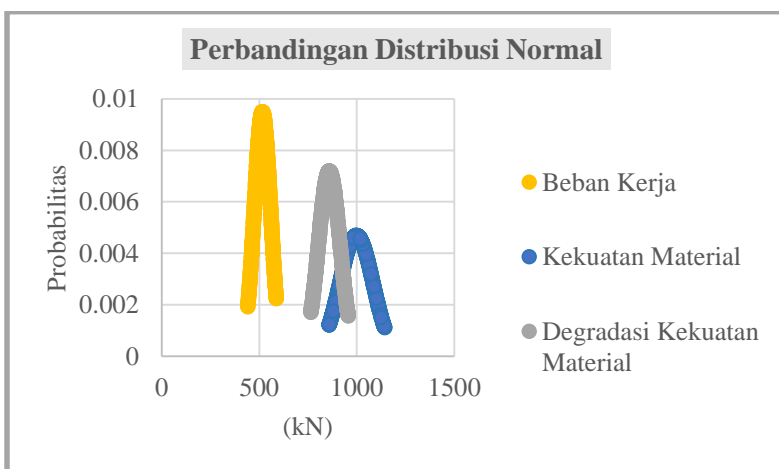
Sehingga, beban tiap *bearing*:

$$\begin{aligned} \text{Beban tiap bearing} &= \frac{F_B}{12} \\ &= \frac{3527,527 \text{ kN}}{12} \\ &= 293,96 \text{ kN} \end{aligned}$$

Setelah besar beban kerja setiap *bearing* diketahui, kemudian dilakukan perhitungan fluktuasi beban dan persebaran distribusi normalnya menggunakan excel dengan menggunakan *safety factor* 1,5 – 2. Nilai dari beban kerja setiap *bearing* dibandingkan dengan nilai dari kekuatan material *bearing*. Gambar 4.5 dan 4.6 merupakan grafik perbandingan antara beban kerja setiap *bearing* dan kekuatan material *bearing* ditinjau dari segi fluktuasi beban dan persebaran distribusi normal.



*Gambar 4.9 Fluktuasi beban kerja vs kekuatan material*



*Gambar 4.10 Distribusi normal beban kerja vs kekuatan material*

Komponen dapat dikatakan aman untuk beroperasi apabila beban kerja berada di bawah beban ijin komponen ( $S_{max} \leq S_{ijin}$ ). Berdasarkan perhitungan yang telah dilakukan, beban kerja yang diterima oleh *bearing* sebesar 293,96 kN sedangkan beban yang

dijinkan sebesar 572 kN sehingga *bearing* dapat dikatakan aman untuk beroperasi.

Grafik distribusi normal menunjukkan bahwa kekuatan material *bearing* lebih besar daripada beban kerja. Grafik distribusi beban kerja tidak berpotongan dengan grafik distribusi kekuatan material *bearing* menunjukkan bahwa *bearing* aman untuk digunakan tanpa ada probabilitas untuk gagal, namun karena *bearing* menerima gaya aksial dan radial secara terus menerus menyebabkan kekuatan dari *bearing* akan berkurang sebagai fungsi waktu. Grafik distribusi kekuatan *bearing* menjadi lebih lebar, sehingga saat grafik distribusi kekuatan material dan beban kerja akan berpotongan. Kemunculan deformasi pada *bearing* akan mempercepat terjadinya perpotongan grafik distribusi beban kerja dan kekuatan *bearing*.

#### **4.4.2 Contact Fatigue**

*Contact fatigue* merupakan beban yang diterima oleh tiap *rolling element bearing*. Setelah mendapatkan beban di tiap kaki maka akan didapat beban di tiap bearing yang dapat digunakan untuk menghitung *contact fatigue*.

$$\text{Beban tiap kaki} = 3527,527 \text{ kN}$$

$$\text{Jumlah bearing total} = 36 \text{ buah}$$

$$\text{Jumlah bearing tiap kaki} = 12 \text{ buah}$$

$$\text{Jumlah roller} = 18 \text{ buah}$$

$$\text{Diameter roller} = 24 \text{ mm}$$

$$\begin{aligned}\text{Beban di tiap Bearing} &= \frac{\text{beban tiap kaki}}{\text{jumlah bearing tiap kaki}} \\ &= \frac{3527,527 \text{ kN}}{12 \text{ buah}} \\ &= 293,960 \text{ kN}\end{aligned}$$

Untuk mencari *contact fatigue* terlebih dahulu harus mencari Z, yaitu jumlah *rolling element* yang terkena *contact fatigue*. Mencari Z melalui beberapa tahapan perhitungan yaitu sebagai berikut:

### 1. Rasio Radius ( $\alpha$ )

- Radius *Roller Bearing Arah y* ( $r_{ay}$ )

$$\frac{r_{ay}}{d} = 4$$

$$\frac{r_{ay}}{24 \text{ mm}} = 4$$

$$r_{ay} = 96 \text{ mm}$$

- Race Conformity Ratio Outer* ( $f_o$ )

$$f_o = \frac{r_{ay}}{(r_o/2)}$$

$$= \frac{96 \text{ mm}}{\left(\frac{100 \text{ mm}}{2}\right)}$$

$$= 1,92$$

- Radius Efektif Arah y ( $R_y$ )

$$R_y = \frac{2 \cdot r_{ay} \cdot f_o}{2 \cdot f_o - 1}$$

$$= \frac{2 \cdot 96 \text{ mm} \cdot 1,92}{2 \cdot 1,92 - 1}$$

$$= \frac{368,64 \text{ mm}}{2,84}$$

$$= 129,8 \text{ mm}$$

- Diameter *Pitch* ( $d_e$ )

$$d_e = \frac{1}{2}(d_o + d_i)$$

$$= \frac{1}{2}(200 + 110) \text{ mm}$$

$$= 155 \text{ mm}$$

- Celah Diametral ( $P_d$ )

$$P_d = d_o - d_i - 2d$$

$$= 200 \text{ mm} - 110 \text{ mm} - 2 \cdot 24 \text{ mm}$$

$$= 42 \text{ mm}$$

- Radius Efektif Arah x ( $R_x$ )

$$R_x = \frac{d(d_e + d \cos \beta)}{2 \cdot d_e}$$

$$= \frac{24 \text{ mm} (155 \text{ mm} + 24 \text{ mm} \cdot \cos 0^\circ)}{2 \cdot 155 \text{ mm}}$$

$$= \frac{4296 \text{ mm}^2}{310 \text{ mm}} \\ = 13,858 \text{ mm}$$

Sehingga,  $\alpha = \frac{R_y}{R_x}$

$$= \frac{129,8 \text{ mm}}{13,858 \text{ mm}} \\ = 9,366$$

## 2. Total Elastic Deformation ( $\delta$ )

- Elliptic Integral First Kind ( $F$ )

$$F = \frac{\pi}{2} + q \ln \alpha \\ = \frac{\pi}{2} + \frac{\pi}{2} - 1 \cdot \ln (9,366) \\ = 1,57 + 0,57 \cdot 2,237 \\ = 1,57 + 1,275 \\ = 2,845$$

- Elliptic Integral Second Kind ( $\varepsilon$ )

$$\varepsilon = 1 + q/\alpha \\ = 1 + \frac{\pi/2 - 1}{\alpha} \\ = 1 + \frac{\pi/2 - 1}{9,366} \\ = 1,06$$

- Curvature Sum ( $R$ )

$$\frac{1}{R} = \frac{1}{R_x} + \frac{1}{R_y} \\ \frac{1}{R} = \frac{1}{13,858} + \frac{1}{129,8} \\ \frac{1}{R} = \frac{129,8 + 13,858}{1798,7684} \\ R = 12,521 \text{ mm}$$

- Approximate Ellipticity Parameter ( $\kappa$ )

$$\kappa = \alpha^{2/\pi} \\ = 9,366^{2/\pi} \\ = 4,154$$

- *Effective Elastic Modulus (N/mm<sup>2</sup>)*

Material 100Cr6

$$E = 190 - 210 \text{ GPa}$$

$$\nu = 0,27 - 0,30$$

$$\begin{aligned} E' &= \frac{2}{\frac{1-v_a^2}{E_a} + \frac{1-v_b^2}{E_b}} \\ &= \frac{2}{\frac{1-(0,3)^2}{210 \text{ kN/mm}^2} + \frac{1-(0,3)^2}{210 \text{ kN/mm}^2}} \\ &= \frac{2}{0,0043 + 0,0043} \\ &= 232,558 \text{ kN/mm}^2 \end{aligned}$$

Sehingga,

$$\begin{aligned} \delta &= F \left[ \left( \frac{4,5}{\varepsilon \cdot R} \right) \left( \frac{F}{\pi \cdot J \cdot E'} \right)^2 \right]^{1/3} \\ &= 2,845 \left[ \left( \frac{4,5}{1,06 \cdot 12,521 \text{ mm}} \right) \left( \frac{293,960 \text{ kN}}{\pi \cdot 4,154 \cdot 232,558 \text{ kN/mm}^2} \right)^2 \right]^{1/3} \\ &= 2,845 [0,339 \cdot 0,00938 \text{ mm}]^{1/3} \\ &= 2,845 [0,147 \text{ mm}] \\ &= 0,418 \text{ mm} \end{aligned}$$

### 3. Constant Defined (Z)

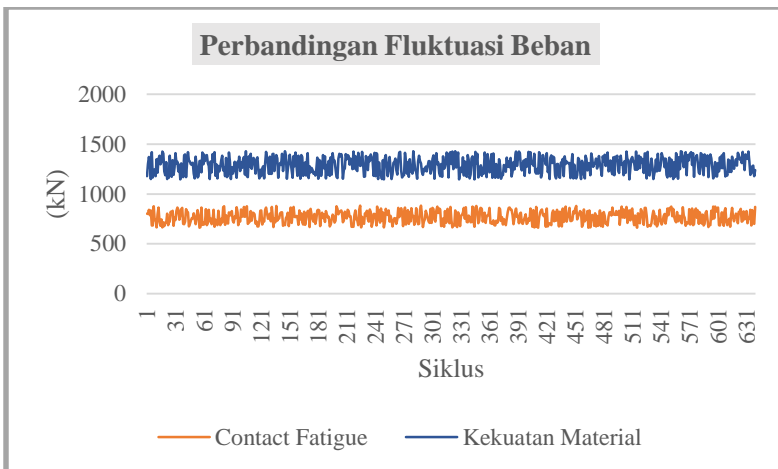
$$\begin{aligned} |Z| &= \frac{\pi (1 - P_d / 2\delta)^{3/2}}{2,491 \left\{ \left[ 1 + \left( \frac{1 - P_d / 2\delta}{1,23} \right)^2 \right]^{1/2} - 1 \right\}} \\ &= \frac{\pi \left( 1 - \frac{42 \text{ mm}}{2 \cdot 0,418 \text{ mm}} \right)^{3/2}}{2,491 \left\{ \left[ 1 + \left( \frac{1 - \frac{42 \text{ mm}}{2 \cdot 0,418 \text{ mm}}}{1,23} \right)^2 \right]^{1/2} - 1 \right\}} \end{aligned}$$

$$\begin{aligned}
 &= \left| \frac{-1085,459}{97,259} \right| \\
 &= 11,16 \text{ buah} \approx 12 \text{ buah}
 \end{aligned}$$

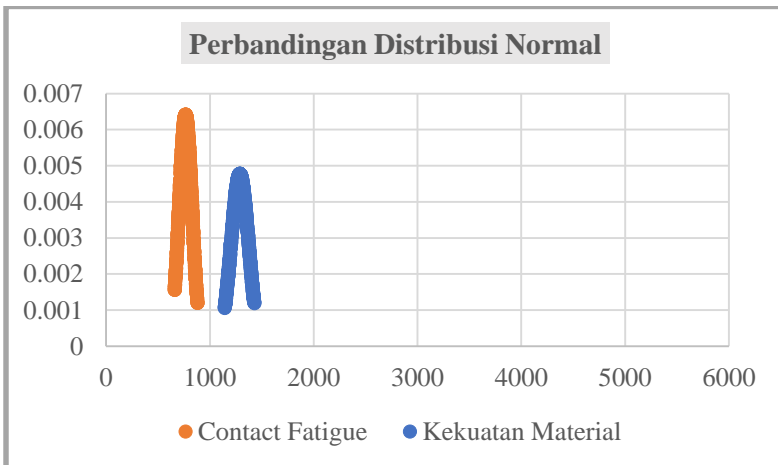
Jumlah *rolling element* yang terkena *contact fatigue* berjumlah 13 buah, maka dapat dicari Funtuk *contact fatigue* yaitu:

$$\begin{aligned}
 F_r &= \frac{n \cdot F_{max}}{Z} \\
 &= \frac{18 \text{ buah} \cdot 293,960 \text{ kN}}{12 \text{ buah}} \\
 &= 440,94 \text{ kN}
 \end{aligned}$$

Besar gaya *contact fatigue* diketahui kemudian dilakukan perhitungan fluktuasi beban dan persebaran distribusi normalnya menggunakan excel dengan mempertimbangkan *safety factor*. Nilai dari *contact fatigue* dibandingkan dengan nilai dari kekuatan material *bearing*. Gambar 4.7 dan 4.8 merupakan grafik perbandingan antara *contact fatigue* dan kekuatan material *bearing* ditinjau dari segi fluktuasi beban dan persebaran distribusi normal.



Gambar 4.11 Fluktuasi beban *contact fatigue* vs kekuatan material



Gambar 4.12 Distribusi normal *contact fatigue* vs kekuatan material

Komponen dapat dikatakan aman untuk beroperasi apabila beban kerja berada di bawah beban ijin komponen ( $S_{\max} \leq S_{ijin}$ ).

Berdasarkan perhitungan yang telah dilakukan, beban *contact fatigue* yang diterima oleh *bearing* sebesar 440,94 kN sedangkan beban yang diijinkan sebesar 572 kN sehingga *bearing* dapat dikatakan aman untuk beroperasi.

Grafik distribusi normal fluktuasi beban dari beban kerja setiap *bearing* dan kekuatan material juga tidak berpotongan dan membentuk *interference region*, hal ini menunjukkan bahwa beban yang diterima *bearing* masih di bawah beban yang dapat diterima oleh *bearing* dan material tidak mengalami kegagalan maupun kegagalan desain.

#### 4.4.3 Umur Bearing

Berikut perhitungan yang digunakan untuk menentukan umur *bearing*:

$$\begin{aligned}
 L_{10} h &= \left(\frac{C}{P}\right)^b \times \left(\frac{1000000}{60 \times n}\right) \\
 &= \left(\frac{572 \text{ kN}}{440,94 \text{ kN}}\right) \times \left(\frac{1000000}{60 \times 6 \text{ rpm}}\right) \\
 &= 1,297 \times 2777,7 \text{ jam} \\
 &= 3602,676 \text{ jam} \\
 &= 150 \text{ hari } \approx 5 \text{ bulan}
 \end{aligned}$$

#### 4.5 Analisa Pelumasan pada *Spherical Roller Bearing*

Pelumasan yang digunakan pada *bearing* telah sesuai atau tidak dengan spesifikasi dan keadaan di lapangan dapat diketahui dengan melakukan perhitungan yang meliputi jarak antar pemberian pelumasan dan jumlah pelumasan yang dibutuhkan. Perhitungan pelumasan berdasarkan pada katalog SKF untuk kondisi seharusnya sebagaimana *bearing* yang digunakan pada *power plant* merupakan SKF 22222 E.

$$D = 200 \text{ mm}$$

$$d = 110 \text{ mm}$$

$$d_m = 0,5(D + d) = 0,5(200 + 110)\text{mm} = 155 \text{ mm}$$

$$B = 53 \text{ mm}$$

$$n = 6 \text{ r/min}$$

$$\begin{aligned}b_f &= 2 \text{ (tabel)} \\C &= 572 \text{ kN} \\P &= 311,703 \text{ kN}\end{aligned}$$

#### 4.5.1 Pelumasan Kondisi Seharusnya

- Waktu Pelumasan

Faktor kecepatan

$$\begin{aligned}\text{Speed factor} &= A \cdot b_f \\&= n \cdot d_m \cdot b_f \\&= 6 \text{ r/min} \cdot 155 \text{ mm} \cdot 2 \\&= 1860\end{aligned}$$

Rasio beban

$$\begin{aligned}\text{Load ratio} &= C/P \\&= \frac{572}{311,703} \text{ kN} \\&= 1,835\end{aligned}$$

Faktor kecepatan diketahui sebesar 1860 dan rasio beban sebesar 1,835 pada *spherical roller bearing*, maka waktu pelumasan dapat diketahui dari diagram 1 pelumasan katalog SKF (hal. 25) setiap 3000 jam dengan kondisi operasi normal dan di lingkungan yang bersih.

- Jumlah Pelumasan

$$\begin{aligned}G_k &= (0,3 \dots 0,5) D B \times 10^{-4} \\&= 0,4 \times 200 \text{ mm} \times 53 \text{ mm} \times 10^{-4} \\&= 0,42 \text{ gr/h} \\&= 0,48 \text{ ml/h} \\&= 11,52 \text{ ml/day}\end{aligned}$$

#### 4.5.2 Pelumasan Kondisi Aktual

Pelumasan yang dilakukan oleh *power plant* menggunakan pelumasan otomatis dengan distributor ZP-A. Berikut data spesifikasi yang didapat:

*Tabel 4.3 Spesifikasi pelumas distributor ZP-A*

<b>Distributor Pelumas ZP-A 35541-</b>	
Tekanan kerja	Maks. 160 bar
Rentang temperatur	-20° sampai +80°C
Perbedaan tekanan yang diijinkan diantara 2 keluaran	Maks 50 bar Jika katup searah digunakan, maks tekanan sistem diijinkan
Volume pada meteran	0,07; 0,1; 0,2; 0,3 cm <sup>3</sup>
Tekanan buka dari katup searah	2 bar
Tekanan ambil	≤ 10 bar
Volume pelumas	> 0,5 cm <sup>3</sup> /min
Pelumas yang digunakan	Grease berbahan minerals oils NLGI-class 2 DIN 51818
Berat	Bergantung jumlah keluaran

1. Waktu Pelumasan

Rentang waktu pelumasan yang digunakan oleh *power plant* yaitu sekitar setiap 37 menit dengan pelumasan otomatis.

2. Jumlah Pelumasan

Dari katalog ZP-A didapat jumlah pelumasan sebesar 0,3 ml/cycle, sehingga:

$$\begin{aligned} G_k (\text{aktual}) &= 0,3 \times 24 \\ &= 7,2 \text{ ml/day} \end{aligned}$$

Berdasarkan perhitungan waktu dan jumlah pelumasan yang kemudian dibandingkan antara kondisi seharusnya dengan kondisi actual didapat kesimpulan bahwa jumlah pelumasan yang digunakan tidak sesuai dengan kondisi seharusnya berdasarkan katalog SKF sehingga *power plant* melakukan penggantian distributor pelumasan menjadi VZ-4 akan tetapi belum semua bearing dilakukan penggantian. Berikut spesifikasi dari distributor pelumasan VZ-4:

*Tabel 4.4 Spesifikasi pelumas distributor VZ-4*

<b>Distributor Pelumas VZ 35716-2...10</b>	
Tekanan	400 bar
Tekanan maks	500 bar
Volume keluaran	0,4...2 cm <sup>3</sup>
Rentang temperatur	-30° sampai +80°C
Pelumas yang digunakan	00...3 NLGI-class DIN 51818
Berat	2,1 kg

*(Halaman ini sengaja dikosongkan)*

## **BAB V**

### **KESIMPULAN DAN SARAN**

Pada bab ini berisi hasil-hasil pokok Tugas Akhir yang merupakan kesimpulan dan saran yang dapat diberikan.

#### **5.1 Kesimpulan**

Kesimpulan dari Tugas Akhir ini adalah:

1. Hasil dari analisa perhitungan pembebanan menunjukkan bahwa beban maksimal saat *bearing* beroperasi berada di bawah beban ijin dari *bearing* ( $S_{\max} \leq S_{ijin}$ ). Perhitungan pembebanan yang didapat saat *bearing* beroperasi adalah sebesar 293,96 kN sedangkan beban ijin *bearing* sebesar 572 kN.
2. Hasil dari analisa perhitungan pembebanan menunjukkan bahwa beban *contact fatigue* saat *bearing* beroperasi berada di bawah beban ijin dari *bearing* ( $S_{\max} \leq S_{ijin}$ ). Perhitungan beban *contact fatigue* yang didapat saat *bearing* beroperasi adalah sebesar 440,94 kN sedangkan beban ijin *bearing* sebesar 572 kN.
3. Umur *bearing* yang didapat dari perhitungan yaitu 5 bulan, sedangkan pada kondisi aktual rata-rata umur *bearing* 2 – 3 bulan. Hal ini menunjukkan perbedaan antara umur *bearing* dari perhitungan dengan umur *bearing* aktual.
4. Besar pelumasan yang digunakan kondisi aktual tidak sesuai dengan pelumasan yang seharusnya digunakan. Jumlah pelumasan kondisi aktual sebesar 7,2 ml/day sedangkan pelumasan yang seharusnya digunakan sebesar 11,52 ml/day.
5. Jenis pelumasan yang seharusnya digunakan yaitu pelumasan otomatis dengan waktu pelumasan di bawah 3000 jam. Hal ini telah sesuai dengan kondisi aktual yaitu menggunakan pelumasan otomatis dengan waktu pelumasan setiap 37 menit.

## 5.2 Saran

Saran yang dapat diberikan pada Tugas Akhir ini adalah:

1. Melakukan penggantian distributor pelumasan agar jumlah pelumasan mencukupi dari pelumasan yang seharusnya terlebih *bearing* berjenis *open bearing* dan bekerja di kondisi lingkungan yang kotor.
2. Komponen yang digunakan terus-menerus akan mengalami penurunan kekuatan material sehingga dilakukan pengecekan rutin.

## **DAFTAR PUSTAKA**

1. Ahmed, R. 2002. “*Rolling Contact Fatigue*”. United Kingdom: Heriot – Watt University
2. Brooks, Charles R. dan Ashok Choudhury. 2002. *Failure Analysis of Engineering Materials*. New York: McGraw Hill
3. Glaeser, W.A dan S.J. Shaffer. 1996. “*Contact Fatigue*” dalam ASM Handbook Volume 19: *Fatigue and Fracture* (hlm. 331-336). Batelle Laboratories
4. Hamrock, J. Bernard dan William J. Anderson. 1983. “*Rolling – Element Bearings*” dalam NASA Reference Publication 1105
5. Juvinal, Robert C. dan Kurt M. Marshek. 1991. *Fundamentals of Machine Component Design*. Singapore: John Wiley & Son, Inc.
6. Sularso, dan Kiyokatsu Suga. 2004. Dasar Perencanaan dan Pemilihan Elemen Mesin. Jakarta: Pradnya Paramita

**Lampiran 1. Record Kerusakan Bogie Wheel Bearing Stacker/reclaimer 1**

Work Order	WO Description	Asset	Asset Description	Report Start	Sched Start	Target Start	Dept	Status	Type	Safety	Labor Grp	Notifications	Comments
<b>Stacker Reclaimer 1</b>													
2011/13501	Replace gantry travelling wheel bearing no. S6	00EAD01	STACKER RECLAIMER 01	21-Jan-11	27-Jan-11		EMH	CLOSE	CM	PFW	EMH_CP	Gantry wheel bearing land side [S.6] was damage /crack;	Replace bearing Ops :Ok, checked by Morning Shift 4 Feb 2011
2012/115456	Replace the bogie wheel c/w bearing	00EAD01	STACKER RECLAIMER 01	21-May-12	30-May-12		EMH	CLOSE	CM	PFW	EMH_CP	Gantry whell south -east side and structure set noise during travelling;	Replace bogie whell and both side bearing and seal complete. item : 100850 and 112386,
2012/123287	Check ovality of wheel and the centerline between rail and bogie wheel	00EAD01	STACKER RECLAIMER 01	1-Jun-12	12-Jun-12		EMH	CLOSE	CM	PFW	EMH_CP	2 pcs wheel gantry south - east side, visual not centre with rail;test at travell way 180-220 the visual wheel to south toward of rail , need to be investigated by EMH problem not centre on rail or bogie wheel?	action 1 :check ovality (dial gage) of wheel due to worn. Already repaired with reweld and grinding (deviation + 3 and -3, overall = 6 mm) action 2 :check the centerline rail and bogie will conducted with other WO
2013/121238	Install gantry wheel bearing U13 (c/w drive unit)	00EAD01	STACKER RECLAIMER 01	2-May-13	3-May-13		EMH	CLOSE	CI	PFW	EMH_CP	follow up WO :2013/100045-S	Replace gantry wheel bearing assy
2014/176470	replace gantry wheel bearing (drive) set for S6	00EAD01	STACKER RECLAIMER 01	3-Jul-14	5-Jul-14		EMH	CLOSE	CM	PFW	EMH_CP	Gantry wheel no.S6 was noise and vibration, found bearing S6 north side temperature reach until 45	replace gantry wheel (drive wheel) complete set with bearing cover housing. And esnuring all lubrication has normally inject

											degree,other bearing gantry wheel only 29 degree;	
2014/225433	check and rectify grease distributor toward gantry wheel S6 and rectify the tubing grease leakage for drive pulley EAC23	00EAD01	STACKER RECLAIMER 01	28-Aug-14	29-Aug-14	EMH	CLOSE	CI	PFW	EMH_CP	during walkdown inspection, found tubing grease for drive pulley bearing EAC23 has been leaks minor and need to verify the condition of grease distributor gantry S6	replice broken tube for grease distributor toward EAC23 bearing Check distributor grease S6 normal, could inject sufficient amount to bearing.
2014/251518-1	rectify the tubingleakage at gantry wheel	00EAD01	STACKER RECLAIMER 01	29-Sep-14	30-Sep-14	EMH	CLOSE	CI	LWC	EMH_CP	During PM found tubeleakage at gantry wheel (follow up WO : 2014/2515 1B)	Replace leak tubing.
2014/253340	Replace gantry wheel bearing no. U11 driven	00EAD01	STACKER RECLAIMER 01	30-Sep-14	2-Oct-14	EMH	CLOSE	CM	PFW	EMH_CP	found gantry wheel NO. U-11 driven ( north side ) bearing broken; EMH assessment : No. U11 (near rail damp)	item :1149S2 Replace gantry wheel drive complete with bearing.
2014/300262	Replace gantry wheel bearing U7	00EAD01	STACKER RECLAIMER 01	19-Nov-14	20-Nov-14	EMH	CLOSE	CI	PFW	EMH_CP	from history monitoring and PM, gantry wheel bearing U7 has been cracked and often loosen between shaft and shrinkdisc	Done replace with new wheel, replacment all bearing and sealcomplete set

2015/324715	Replace gantry wheel bearing S2 (no. 2 from east-nondrive)	00EAD01	STACKER RECLAIMER 01	23-Nov-15	24-Nov-15		EMH	CLOSE	CI	PFW	EMH_CP	Found gantry wheel bearing no 2 from east (S2) was crack on two position.	replace with refurbished wheel (non drive) 113700 refurbished non drive wheel Replace with refurbished wheel and relocation speed sensor to wheel S1 due not match with S2 shaft.
2016/74	Replace bogie wheel bearing no. U15 (at no equalizer bogie U8)	00EAD01	STACKER RECLAIMER 01	3-Jan-16	7-Jan-16		EMH	CLOSE	CM	PFW	EMH_CP	Bogie wheel bearing no equalizer U8-east side bearing is broken; EMH check equalizer U8 -> bogie wheel no U15	Done replace bogie wheel bearing and restore gearbox & system
2016/60437	Replace gantry wheel bearing U13	00EAD01	STACKER RECLAIMER 01	17-Mar-16	18-Mar-16		EMH	CLOSE	CI	PFW	EMH_CP		gantry wheel bearing has been replaced with new one complete set. Gantry wheel motor Still simulated by EEC. raise WO 2016/SOS78 for adjust brake and normalize gantry wheel motor. DONE
2016/67869	replace bogie wheel bearing (boogie truck U4)	00EAD01	STACKER RECLAIMER 01	14-Jun-16	15-Jun-16		EMH	CLOSE	CM	PFW	EMH_CP	Bogie wheel no U4 bearing brocken.;	replace boogie wheel no U7 (drive), bogie truck U4.due to shaft broken (impacted to bearing broken also). replace with new wheel and shaft. DONE

2016/69743	replace gantry wheel bearing no U9	00EAD01	STACKER RECLAIMER 01	5-Jul-16	25-Jul-16		EMH	CLOSE	CI	PFW	EMH_CP		replace bearing by P. Kandar) DONE
2016/73512	replace gantry wheel bearing U12 (wheel no 5 from west)	00EAD01	STACKER RECLAIMER 01	23-Aug-16	25-Aug-16		EMH	CLOSE	CI	PFW	EMH_CP		DONE, replace gantry wheel U12 New wheel c/w bearing.
2016/75009	replace gantry wheel bearing U10 (no 7 from west)	00EAD01	STACKER RECLAIMER 01	11-Sep-16	13-Sep-16		EMH	CLOSE	CI	PFW	EMH_CP		found bearing cage, and outerace has broken (north side). replace with refurbished old wheel replace new bearing both of found lip seal has been modified became 120x150x15 Done, replace gantry wheel no. 7
2017/12413	rectify grease line (gantry wheel south-east side)	00EAD01	STACKER RECLAIMER 01	23-May-17	24-May-17		EMH	CLOSE	CM	ORAL	EMH_CP	Discharge pipe line of lubrication grease to gantry wheel south side - east end was leakedaged;	Done, cut and conect with straigh coupling G6
2017/14211	replace gantry wheel bearing S8 (drive wheel)	00EAD01	STACKER RECLAIMER 01	14-Jun-17	16-Jun-17		EMH	CLOSE	CI	PFW	EMH_CP	found gantry wheel S8 has bearing failure , indicate is wheeltrim to north side.	Done, replace gantry wheel and bearing S8
2017/26479	replace gantry wheel bearing U2 (non drive)	00EAD01	STACKER RECLAIMER 01	31-Oct-17	1-Nov-17		EMH	CLOSE	CI	PFW	EMH_CP	Found crack at wheel U2	Done replace whell and bearing and seal.

**Lampiran 2. Record Kerusakan Bogie Wheel Bearing Stacker/reclaimer 2**

Work Order	WO Description	Asset	Asset Description	Report Start	Sched Start	Target Start	Dept	Status	Type	Safety	Labor Grp	Notifications	Comments
<b>Stacker Reclaimer 2</b>													
2010/3366	Realignment gantry wheel No S3 and cut scrapper plate that touch the rail	00EAD02	STACKER RECLAIMER 02	07-Jan-10	4-Apr-10		EMH	CLOSE	CM	LWC	EMH_CP	Gantry wheel S3 and S4 (South -midle pin bogie no. S2) not center during travelling EAD01 at bellow;travell 150 meter to east, and make noise.	Bogie S2 alignment done, S1 And N1 will be assessed and executed by another WO Ops :Ok
2013/8581	Insitu repair : rewelding gantry wheel no S2 (non-drive) and check the roundness (dialgage measurement)	00EAD02	STACKER RECLAIMER 02	10-Jan-13	14-Jan-13		EMH	CLOSE	CI	PFW	EMH_CP	Reported by P. Sukiman : gantry wheel no. S2 east side was cracked and decide to repair insitu	repair the cracked wheel with welding insitu, process preheating 250 C and grinding flush with tolerance around 0.05 mm (dial gage measurement)
2013/8581	Replacement gantry wheel bearing S3 (modified drive wheel) with the refurbished one	00EAD02	STACKER RECLAIMER 02	10-Jan-13	17-Jan-13		EMH	CLOSE	CI	PFW	EMH_CP	Replace gantry bearing S3 (modified) with non drive wheel already refurbished at workshop UYA3	Preparing wheel and it's parts completed. Install assy wheel short shaft (non-drive wheel)
2013/7448 9	Replacement gantry wheel bearing no. S8	00EAD02	STACKER RECLAIMER 02	15-Mar-13	25-Mar-13		EMH	CLOSE	CI	PFW	EMH_CP	During walkdown inspection gantry wheel bearing S8 found cracked. Decide to replace with spare	Collect and assembly all parts. replacement with spare wheel was completed

2013/1093 76	Replace bearing for gantry wheel drive U11	00EAD02	STACKER RECLAIMER 02	17-Apr-13	17-Apr-13		EMH	CLOSE	CM	PFW	EMH_CP	Wheelgantry north side no, 6 from west noise;	Replace bearing gantry wheel both side.
2013/1585 72	Check and replace bearing for gantry wheel U16	00EAD02	STACKER RECLAIMER 02	10-Jun-13	11-Jun-13		EMH	CLOSE	CM	PFW	EMH_CP	Gantry whell set no. U15 and U16 noise; Check result : noise at U16	item :112386 Replace bearing both side and re install back
2013/2330 00	Replace gantry wheel bearing S2	00EAD02	STACKER RECLAIMER 02	5-Sep-13	6-Sep-13		EMH	CLOSE	CI	PFW	EMH_CP	gantry wheel bearing S2 after last defect was replace with unsuitable wheel (used drive type), should be use un-drive. So decide to return to original design	Replace wheel gantry bearing done
2013/2332 40	replace gantry wheel bearing with refurbished one	00EAD02	STACKER RECLAIMER 02	5-Sep-13	17-Sep-13		EMH	CLOSE	CM	PFW	EMH_CP	Gantry whell no.S2 south noise during forward and backward;EMH : not S2 and the wheel should be S3 mounted at bogie truck no.2 (no 3 from, the east near ladder).and this position already known by EMH	noise due to ovality so replace with refurbished wheel bearing (welding c/w PWHT and machining at workshop)
2013/2685 10	Re-install gantry wheel bearing non drive no. U14	00EAD02	STACKER RECLAIMER 02	1-Oct-13	2-Oct-13		EMH	CLOSE	CI	PFW	EMH_CP	preparation has completed and already to installed. follow up WO : 2013/252576	done re-install gantry wheel U14, remove temporary support. install new bearing
2014/7167 6-1	Rewelding gantry wheel insitu	00EAD02	STACKER RECLAIMER 02	3-Apr-14	4-Apr-14		EMH	CLOSE	CI	PFW	EMH_CP	Follow up WO : 2014/71676, found wheel	insitu welding

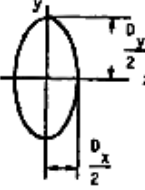
2014/3096 09	replace gantry wheel bearing no.U8	00EAD02	STACKER RECLAIMER 02	27-Nov-14	28-Nov-14	EMH	CLOSE	CI	PFW	EMH_CP	last monitoring this wheel bearing U8 has been cracked and already repair insit u. better for replace	Replace gantry wheel and bearing.
2014/3370 09	Replace gantry wheel bearing U7 (driven)	00EAD02	STACKER RECLAIMER 02	24-Dec-14	5-Jan-15	EMH	CAN	CI	PFW	EMH_CP	last check and several reporting during PM, has been cracked	pending to next outage, need 2 days window unavailable
2015/2905 2	Replace gantry wheel bearing S6	00EAD02	STACKER RECLAIMER 02	28-Jan-15	30-Jan-15	EMH	CLOSE	CM	PFW	EMH_CP	Bogie wheel bearing S6, U6 and U9 cracked, as at drawing attached.; EMH :Will be replace S6, U9 and US will executed with other WO for rewelding	Replace gantry wheel.shaft and bearing
2015/7625 5	Replace gantry wheel bearing U2	00EAD02	STACKER RECLAIMER 02	10-Mar-15	11-Mar-15	EMH	CLOSE	CI	PFW	EMH_CP	Found crack on gantry wheel bearing north side, no 2 from east. (U2) Non drive wheel	SI gantry wheel :114651 SI bearing 22222:112386 Replace wheel and bearing .
2015/8921 5	Replace gantry wheel bearing U9 (drive)	00EAD02	STACKER RECLAIMER 02	25-Mar-15	30-Mar-15	EMH	CLOSE	CI	PFW	EMH_CP		Replace with refurbish wheel and new bearing.
2015/2127 52	cleaning distributor to gantry wheel no 1 (east side)	00EAD02	STACKER RECLAIMER 02	4-Aug-15	4-Aug-15	EMH	CLOSE	CI	ORAL	EMH_CP	follow up wo 2015/203820 Found distributor for gantry wheel south-north east side were not working. pm.by Kimansu..	has been unblocked and runtest.working properly.Done

2015/3576 06	Replace gantry wheel bearing S10 (drive)	00EAD02	STACKER RECLAIMER 02	29-Dec-15	30-Dec-15		EMH	CLOSE	CI	PFW	EMH_CP	found gantry wheel bearing (S10) surface got worn out and initial surface crack	replace S10 due to already cracked (more worse condition) also replace geobox shaft seal (output cover) leakage done replace drive wheel ,also replace seal gearbox output (leaks)
2016/6115 7	replace gantry wheel bearing U6	00EAD02	STACKER RECLAIMER 02	28-Mar-16	29-Mar-16		EMH	CLOSE	CI	PFW	EMH_CP	crack on back - 2 position (monitoring) planing for replacement with refurbished on outage.	11238S ; 11S180 Done, new wheel c/w shaft and both side bearing
2016/6560 8	replace gantry wheel bearing S5 (non drive)	00EAD02	STACKER RECLAIMER 02	23-May-16	1-Jun-16		EMH	CLOSE	CI	PFW	EMH_CP	found crack on gantry wheel bearing (back- surface)	si116180; 112386 (2 ea) ; 100850 (2 ea) Replace gantry wheel bearing S5 ( non drive )
2016/7386 5	replace gantry wheel bearing U15 (no 2 from west)	00EAD02	STACKER RECLAIMER 02	26-Aug-16	31-Aug-16		EMH	CLOSE	CI	PFW	EMH_CP	found wheel bearing U15 back crack to surface	both of wheel and bearing are original. back crack to wheel surface. day 1 :disconnect cable motor, brake and simulate by eec, wheel replacement by EMH. Document suspend. day 2 :eec connect motor and brake cable (normalize systm). 11238S ; Done, replace with new wheel,

												both bearing and seal 2 pcs.
2016/7713 1	replace gantry wheel bearing U1	00EAD02	STACKER RECLAIMER 02	7-Oct-16	26-Oct-16		EMH	CLOSE	CM	PFW	EMH_CP	Gantry wheel bearing no. U1 crack;  ,si: 11S180 wheel replace with new wheel. DONE
2016/7948 7	rectify grease line above gantry wheel S3	00EAD02	STACKER RECLAIMER 02	7-Nov-16	7-Nov-16		EMH	CLOSE	CM	ORAL	EMH_CP	Discharge pipe line of lubrication grease was leakedaged due to joint connection loose,position
2016/8136 4	Replace gantry wheel bearing no.U10	00EAD02	STACKER RECLAIMER 02	29-Nov-16	29-Nov-16		EMH	CLOSE	CM	PFW	EMH_CP	Gantry wheel north side n0.7 from west the bearing is noise;
2017/1420	welding insitu gantry wheel S7	00EAD02	STACKER RECLAIMER 02	16-Jan-17	18-Jan-17		EMH	CLOSE	CI	PFW	EMH_CP	Found boobie wheel crack no. S7 need to inspect pm.by Kimansu.
2017/1407 3	manual inject with grease gun gantry wheel distributor no S2	00EAD02	STACKER RECLAIMER 02	12-Jun-17	13-Jun-17		EMH	CLOSE	CI	ORAL	EMH_CP	Found gantry wheel distributor no.S2 stuck need to clean I inject pm by Kimansu
2017/2846 5	replace gantry wheel bearing non drive (south side) (S7)	00EAD02	STACKER RECLAIMER 02	24-Nov-17	5-Dec-17		EMH	CLOSE	CM	PFW	EMH_CP	Gantry wheel bearing no S7 crack.
												Done replace new wheel and bearing both side

### Lampiran 3. Persamaan *contact fatigue*

TABLE 12. - SIMPLIFIED EQUATIONS

	
$\alpha \geq 1$	$\alpha < 1$
$\bar{k} = \frac{2}{\pi}$	$\bar{k} = \frac{2}{\pi}$
$\bar{\sigma} = \frac{\pi}{2} + q \ln \alpha$	$\bar{\sigma} = \frac{\pi}{2} + q \ln \alpha$
where $q = \frac{\pi}{2} - 1$	where $q = \frac{\pi}{2} - 1$
$\bar{\epsilon} = 1 + \frac{q}{\alpha}$	$\bar{\epsilon} = 1 + q\alpha$
$D_y = 2 \left( \frac{6k^2 \epsilon F R}{\pi E^2} \right)^{1/3}$	$D_y = 2 \left( \frac{6k^2 F R}{\pi E^2} \right)^{1/3}$
where $R^{-1} = R_x^{-1} + R_y^{-1}$	where $R^{-1} = R_x^{-1} + R_y^{-1}$
$D_x = 2 \left( \frac{6 \epsilon F R}{\pi k E^2} \right)^{1/3}$	$D_x = 2 \left( \frac{6 \epsilon F R}{\pi E^2 k^2} \right)^{1/3}$
$\delta = \sigma \left[ \left( \frac{4.5}{\epsilon R} \right) \left( \frac{F}{\pi k E^2} \right)^2 \right]^{1/3}$	$\delta = \sigma \left[ \left( \frac{4.5}{\epsilon R} \right) \left( \frac{F_k}{\pi E^2} \right)^2 \right]^{1/3}$

## Lampiran 4. Tabel nilai variabel pada *contact fatigue*

TABLE II. - COMPARISON OF NUMERICALLY DETERMINED VALUES WITH CURVE-FIT  
VALUES FOR GEOMETRICALLY DEPENDENT VARIABLES

$[R_x = 1.0 \text{ cm.}]$

Radius-of-curvature ratio, $\alpha$	Ellipticity parameter, $k$	Ellipticity		Complete elliptic integral of first kind			Complete elliptic integral of second kind		
		$\bar{k}$	Percent error, $e$	$\mathcal{F}$	$\bar{\mathcal{F}}$	Percent error, $e$	$\mathcal{E}$	$\bar{\mathcal{E}}$	Percent error, $e$
1.00	1.0000	1.0000	0	1.5708	1.5708	0	1.5708	1.5708	0
1.25	1.1604	1.1526	.66	1.6897	1.6892	-.50	1.4643	1.4566	.52
1.50	1.3101	1.2945	1.19	1.7898	1.8022	-.70	1.3911	1.3805	.76
1.75	1.4514	1.4280	1.61	1.8761	1.8902	-.75	1.3378	1.3262	.87
2.00	1.5858	1.5547	1.96	1.9521	1.9664	-.73	1.2972	1.2854	.91
3.00	2.0720	2.0125	2.87	2.1883	2.1979	-.44	1.2002	1.1903	.83
4.00	2.5007	2.4170	3.35	2.3594	2.3621	-.11	1.1506	1.1427	.69
5.00	2.8902	2.7860	3.61	2.4937	2.4895	.17	1.1205	1.1142	.57
6.00	3.2505	3.1289	3.74	2.6046	2.5935	.40	1.1004	1.0951	.48
7.00	3.5878	3.4515	3.80	2.6975	2.6815	.59	1.0859	1.0815	.40
8.00	3.9065	3.7577	3.81	2.7786	2.7577	.75	1.0751	1.0713	.35
9.00	4.2096	4.0503	3.78	2.8502	2.8250	.88	1.0666	1.0634	.30
10.00	4.4994	4.3313	3.74	2.9142	2.8851	1.00	1.0599	1.0571	.26
15.00	5.7996	5.6069	3.32	3.1603	3.1165	1.38	1.0397	1.0381	.15
20.00	6.9287	6.7338	2.81	3.3342	3.2807	1.60	1.0296	1.0285	.10
25.00	7.9440	7.7617	2.29	3.4685	3.4081	1.74	1.0236	1.0228	.07
30.00	8.8762	8.7170	1.79	3.5779	3.5122	1.84	1.0196	1.0190	.05
35.00	9.7442	9.6158	1.32	3.6700	3.6002	1.90	1.0167	1.0163	.04
40.00	10.5605	10.4689	.87	3.7496	3.6764	1.95	1.0146	1.0143	.03
45.00	11.3340	11.2841	.44	3.8196	3.7436	1.99	1.0129	1.0127	.02
50.00	12.0711	12.0670	.03	3.8821	3.8038	2.02	1.0116	1.0114	.02
60.00	13.4557	13.5521	-.72	3.9898	3.9078	2.06	1.0096	1.0095	.01
70.00	14.7430	14.9495	-1.40	4.0806	3.9958	2.08	1.0082	1.0082	.01
80.00	15.9522	16.2759	-2.03	4.1590	4.0720	2.09	1.0072	1.0071	.01
90.00	17.0969	17.5432	-2.61	4.2280	4.1393	2.10	1.0064	1.0063	0
100.00	18.1871	18.7603	-3.15	4.2895	4.1994	2.10	1.0057	1.0057	0

## Lampiran 5. Spesifikasi material 100Cr6

Quality According to standards Number		Technical card Lucelín Group											
		Chemical composition											
C%	S%	Mn%	P%	Ni% max	S% max	Cr%	Mo% max	Al% max	Cu% max				
0,93-1,05	0,15-0,35	0,25-0,45	0,025	0,015	1,35-1,60	0,10	0,050	0,30					
± 0,03	± 0,04	± 0,04	+ 0,005	+ 0,005	± 0,05	± 0,03	+ 0,010	+ 0,03					
Product deviations are allowed.													
Temperature °C													
Hot-forming	Quenching %	Quenching %	Tempering %	Stress relief annealing %		A stress relief annealing is suggested to be carried out after machining and before final heat treatment							
1050-900	heating up to 650, pause, then 800-830 water	830-870 oil/polymer	150-300 air	600-650 furnace cooling									
Isothermal annealing +I		Spheroidized annealing +AC	Recrystallization annealing		Pre-heating welding	Stress-relieving after welding							
800 rapid cooling to 720, pause, then air (HB max 220)		720-750 cooling 10 °C/h to 650, pause, then 40 °C/h to 300, then air (HB max 210)	750-780 furnace cooling to 300, then air		not recommended		Ac1	Aon	Ms				
					755 850		300	85					
Hardness in the globular annealed and cold-worked state (hot rolled -AC+C) can be HB 240													
Mechanical and physical properties													
Table of tempering values obtained at room temperature on round of Ø 10 mm after quenching at 840 °C in oil													
HV 30	632	800	772	746	674	633	577	528	471				
HRC	65	64	63	62	59	57	54	51	47				
R N/mm²			2400	2500	2420	2300	2100	1900	1650				
Tempering °C	100	150	200	250	300	350	400	450	500				
Hardening depth from surface to core (Ø) on round tempered at 850 °C in oil. Hardness values expressed in HRC													
mm	20	15	10	5	0	5	10	15	20				
Ø 20			65	64	64	64	64	65					
Ø 30	64	62	59	58	59	59	62	64					
Ø 40	62	57	52	50,5	50	50,5	52	57	62				
Evolution of the austenitic grain size as a function of the material heating temperature													
Grain size	6-9	7-8	7	6		4-5		4					
Temperature °C	830	850	900	950		1000		1050					
Thermal expansion	10⁻⁶ K⁻¹		►	11,4					14,7				
Modulus of elasticity longitudinal	GPa	210											
Modulus of elasticity tangential	GPa	80											
Bulk Modulus	GPa	140											
Poisson number	v	0,30											
Test at °C	20	100	200	300	400	500	700						
The symbol ► indicates temperatures between 20 °C and 100 °C, 20 °C and 700 °C ....													
Data under fatigue with low cycle number. Values for quenched and tempered material													
Cyclic yield strength, σy' MPa		Cyclic strength exponent, n'		Cyclic strength coefficient, K' MPa		Fatigue strength coefficient, σf' MPa		Fatigue strength exponent, b					
1324	0,15	3403		2642		-0,09							
Specific heat J/(Kg·K)	Density Kg/dm³	Thermal conductivity W/(m·K)		Electrical resistivity Ohm·mm²/m		Electrical conductivity Siemens·mm²/m							
475	7,61	46,6		0,22		4,55							
EUROPE EN	ITALY UNI	CHINA GB	GERMANY DIN	FRANCE AFNOR	U.K. BS	RUSSIA GOST	USA AISI/SAE						
100Cr6	100Cr6	GCx15	1.3505	100Cr6		9Ch1	52100						

**Lampiran 6.** Tabel Excel Perhitungan Fluktuasi dan Distribusi Normal antara Beban Kerja dengan Kekuatan Material (SF: 1,5 – 2)

Beban Kerja						
Siklus	SF Random	Load (kN)	Load * SF	Avg	Std Dev	Dist
1	1.776	293.96	522.07296	515.2554	41.11671	0.009570214
2	1.641	293.96	482.38836			0.007049202
3	1.823	293.96	535.88908			0.008554729
4	1.715	293.96	504.1414			0.009354618
5	1.731	293.96	508.84476			0.009585463
6	1.547	293.96	454.75612			0.003286714
7	1.714	293.96	503.84744			0.009336319
8	1.634	293.96	480.33064			0.006764292
9	1.507	293.96	442.99772			0.002071371
10	1.875	293.96	551.175			0.006624749
11	1.653	293.96	485.91588			0.007521861
12	1.698	293.96	499.14408			0.008985674
13	1.782	293.96	523.83672			0.009493647
14	1.682	293.96	494.44072			0.008535772
15	1.641	293.96	482.38836			0.007049202
16	1.65	293.96	485.034			0.007405914
17	1.802	293.96	529.71592			0.0091208
18	1.52	293.96	446.8192			0.002428385
19	1.702	293.96	500.31992			0.009083217
20	1.75	293.96	514.43			0.009700725
21	1.849	293.96	543.53204			0.007659333
22	1.711	293.96	502.96556			0.009278791
23	1.603	293.96	471.21788			0.005467614
24	1.972	293.96	579.68912			0.002842008
25	1.894	293.96	556.76024			0.00582942
26	1.726	293.96	507.37496			0.009526099
27	1.87	293.96	549.7052			0.006830529
28	1.778	293.96	522.66088			0.009546575
29	1.623	293.96	477.09708			0.006307662
30	1.618	293.96	475.62728			0.006097941
31	1.916	293.96	563.22736			0.004912467
32	1.699	293.96	499.43804			0.009010652
33	1.875	293.96	551.175			0.006624749
34	1.733	293.96	509.43268			0.009605874
35	1.512	293.96	444.46752			0.002204262
36	1.857	293.96	545.88372			0.007351873
37	1.881	293.96	552.93876			0.006375216
38	1.75	293.96	514.43			0.009700725
39	1.701	293.96	500.02596			0.009059427
40	2	293.96	587.92			0.002035554

41	1.864	293.96	547.94144			0.007073979
42	1.625	293.96	477.685			0.006391269
43	1.784	293.96	524.42464			0.00946439
44	1.527	293.96	448.87692			0.002636026
45	1.843	293.96	541.76828			0.007881399
46	1.602	293.96	470.92392			0.005425768
47	1.676	293.96	492.67696			0.00834473
48	1.669	293.96	490.61924			0.008108365
49	1.585	293.96	465.9266			0.004724355
50	1.61	293.96	473.2756			0.00576146
51	1.688	293.96	496.20448			0.008715137
52	1.972	293.96	579.68912			0.002842008
53	1.512	293.96	444.46752			0.002204262
54	1.928	293.96	566.75488			0.004428227
55	1.681	293.96	494.14676			0.008504717
56	1.813	293.96	532.94948			0.008844595
57	1.564	293.96	459.75344			0.003901404
58	1.66	293.96	487.9736			0.007785572
59	1.716	293.96	504.43536			0.009372474
60	1.621	293.96	476.50916			0.006223876
61	1.964	293.96	577.33744			0.003103423
62	1.642	293.96	482.68232			0.007089422
63	1.853	293.96	544.70788			0.007507097
64	1.83	293.96	537.9468			0.008332115
65	1.61	293.96	473.2756			0.00576146
66	1.552	293.96	456.22592			0.003462004
67	1.554	293.96	456.81384			0.003533446
68	1.829	293.96	537.65284			0.008364841
69	1.902	293.96	559.11192			0.005493396
70	1.7	293.96	499.732			0.009035237
71	1.608	293.96	472.68768			0.00567738
72	1.591	293.96	467.69036			0.00496928
73	1.878	293.96	552.05688			0.00650028
74	1.595	293.96	468.8662			0.005134326
75	1.949	293.96	572.92804			0.003627988
76	1.75	293.96	514.43			0.009700725
77	1.595	293.96	468.8662			0.005134326
78	1.796	293.96	527.95216			0.009250928
79	1.516	293.96	445.64336			0.002314558
80	1.918	293.96	563.81528			0.004830699

### Kekuatan Material

Siklus	SF Random	Kekuatan Material (kN)	Load * SF	Avg	Std Dev	Dist
1	1.703	572	974.116	998.6137	85.11508	4.49692E-03
2	1.887	572	1079.364			0.00298852
3	1.754	572	1003.288			0.00468003
4	1.96	572	1121.12			0.001663656
5	1.575	572	900.9			0.002425019
6	1.559	572	891.748			0.002131056
7	1.946	572	1113.112			0.001896495
8	1.878	572	1074.216			0.003159237
9	1.525	572	872.3			0.00155836
10	1.634	572	934.648			0.003533968
11	1.963	572	1122.836			0.001615745
12	1.933	572	1105.676			0.002124879
13	1.959	572	1120.548			0.001679787
14	1.857	572	1062.204			0.003545666
15	1.784	572	1020.448			0.004535383
16	1.656	572	947.232			0.003906344
17	1.548	572	885.456			0.001936866
18	1.963	572	1122.836			0.001615745
19	1.703	572	974.116			0.00449692
20	1.609	572	920.348			0.003071134
21	1.975	572	1129.7			0.001431679
22	1.519	572	868.868			0.001466651
23	1.968	572	1125.696			0.001537752
24	1.658	572	948.376			0.003937812
25	1.695	572	969.54			0.004421477
26	1.98	572	1132.56			0.001358707
27	1.968	572	1125.696			0.001537552
28	1.698	572	971.256			0.004451126
29	1.982	572	1133.704			0.00133015
30	1.986	572	1135.992			0.001274133
31	1.782	572	1019.304			0.004550636
32	1.949	572	1114.828			0.001845376
33	1.904	572	1089.088			0.002664098
34	1.794	572	1026.168			0.00444781
35	1.663	572	951.236			0.004014422
36	1.539	572	880.308			0.001783954
37	1.848	572	1057.056			0.003702781
38	1.616	572	924.352			0.003203349
39	1.873	572	1071.356			0.003253112
40	1.518	572	868.296			0.001451671

41	1.989	572	1137.708			0.001233089
42	1.804	572	1031.888			0.004342274
43	1.783	572	1019.876			0.004543106
44	1.702	572	973.544			0.004488129
45	1.871	572	1070.212			0.003290398
46	1.942	572	1110.824			0.001965619
47	1.95	572	1115.4			0.00182848
48	1.613	572	922.636			0.003146855
49	1.815	572	1038.18			0.004207071
50	1.913	572	1094.236			0.002493645
51	1.647	572	942.084			0.003759406
52	1.631	572	932.932			0.00348012
53	1.822	572	1042.184			0.004111518
54	1.536	572	878.592			0.001734304
55	1.84	572	1052.48			0.003836474
56	1.92	572	1098.24			0.002362664
57	1.894	572	1083.368			0.002854915
58	1.812	572	1036.464			0.004245822
59	1.865	572	1066.78			0.003401152
60	1.838	572	1051.336			0.003868897
61	1.986	572	1135.992			0.001274133
62	1.579	572	903.188			0.002500119
63	1.987	572	1136.564			0.001260359
64	1.968	572	1125.696			0.001537552
65	1.613	572	922.636			0.003146855
66	1.944	572	1111.968			0.001930922
67	1.776	572	1015.872			0.004591725
68	1.685	572	963.82			0.00431139
69	1.979	572	1131.988			0.001373122
70	1.722	572	984.984			0.004627382
71	1.577	572	902.044			0.002462505
72	1.936	572	1107.392			0.002071249
73	1.597	572	913.484			0.002842378
74	1.819	572	1040.468			0.004153326
75	1.602	572	916.344			0.002937867
76	1.783	572	1019.876			0.004543106
77	1.879	572	1074.788			0.003140364
78	1.853	572	1059.916			0.003616287
79	1.742	572	996.424			0.004685542
80	1.677	572	959.244			0.00421158

**Lampiran 7.** Tabel Excel Perhitungan Fluktuasi dan Distribusi Normal antara *Contact Fatigue* (SF: 1,5 – 2) dengan Kekuatan Material (SF: 2 – 2,5)

Contact Fatigue						
Siklus	SF Random	Load (kN)	Load * SF	Avg	Std Dev	Dist
1	1.824	440.94	804.27456	767.1226	62.29903	0.005360488
2	1.813	440.94	799.42422			0.005598247
3	1.908	440.94	841.31352			0.003151154
4	1.786	440.94	787.51884			0.006069511
5	1.894	440.94	835.14036			0.003528465
6	1.551	440.94	683.89794			0.002623658
7	1.55	440.94	683.457			0.002598902
8	1.991	440.94	877.91154			0.00131735
9	1.678	440.94	739.89732			0.005820477
10	1.688	440.94	744.30672			0.005988303
11	1.508	440.94	664.93752			0.001668098
12	1.805	440.94	795.8967			0.005755804
13	1.957	440.94	862.91958			0.001963279
14	1.647	440.94	726.22818			0.005162527
15	1.542	440.94	679.92948			0.002404745
16	1.689	440.94	744.74766			0.006003695
17	1.509	440.94	665.37846			0.001687534
18	1.622	440.94	715.20468			0.004525015
19	1.535	440.94	676.8429			0.002240893
20	1.618	440.94	713.44092			0.004417733
21	1.609	440.94	709.47246			0.004173307
22	1.823	440.94	803.83362			0.005383027
23	1.561	440.94	688.30734			0.002876621
24	1.615	440.94	712.1181			0.004336662
25	1.642	440.94	724.02348			0.005040826
26	1.862	440.94	821.03028			0.004403917
27	1.818	440.94	801.62892			0.005493021
28	1.883	440.94	830.29002			0.003829885
29	1.541	440.94	679.48854			0.002380982
30	1.735	440.94	765.0309			0.00640006
31	1.673	440.94	737.69262			0.005727566
32	1.889	440.94	832.93566			0.003665169
33	1.958	440.94	863.36052			0.001941979
34	1.911	440.94	842.63634			0.003071778
35	1.679	440.94	740.33826			0.005838361
36	1.777	440.94	783.55038			0.006184859
37	1.919	440.94	846.16386			0.002863431
38	1.951	440.94	860.27394			0.002093873
39	1.588	440.94	700.21272			0.003597072
40	1.582	440.94	697.56708			0.003433598

41	1.637	440.94	721.81878			0.004915833
42	1.919	440.94	846.16386			0.002863431
43	1.872	440.94	825.43968			0.004131932
44	1.846	440.94	813.97524			0.004826268
45	1.528	440.94	673.75632			0.002083086
46	1.591	440.94	701.53554			0.003679216
47	1.662	440.94	732.84228			0.005504032
48	1.715	440.94	756.2121			0.006306214
49	1.71	440.94	754.0074			0.006263327
50	1.826	440.94	805.15644			0.005314894
51	1.711	440.94	754.44834			0.00627251
52	1.578	440.94	695.80332			0.00332543
53	1.743	440.94	768.55842			0.006401968
54	1.899	440.94	837.34506			0.003392609
55	1.786	440.94	787.51884			0.006069511
56	1.502	440.94	662.29188			0.001554458
57	1.514	440.94	667.58316			0.001786821
58	1.961	440.94	864.68334			0.001878891
59	1.567	440.94	690.95298			0.003032659
60	1.614	440.94	711.67716			0.004309538
61	1.571	440.94	692.71674			0.003138213
62	1.591	440.94	701.53554			0.003679216
63	1.92	440.94	846.6048			0.002837762
64	1.562	440.94	688.74828			0.002902422
65	1.607	440.94	708.59058			0.004118583
66	1.906	440.94	840.43164			0.003204404
67	1.644	440.94	724.90536			0.005089923
68	1.71	440.94	754.0074			0.006263327
69	1.582	440.94	697.56708			0.003433598
70	1.658	440.94	731.07852			0.005416781
71	1.908	440.94	841.31352			0.003151154
72	1.521	440.94	670.66974			0.001931644
73	1.68	440.94	740.7792			0.005856008
74	1.658	440.94	731.07852			0.005416781
75	1.562	440.94	688.74828			0.002902422
76	1.883	440.94	830.29002			0.003829885
77	1.677	440.94	739.45638			0.005802356
78	1.562	440.94	688.74828			0.002902422
79	1.705	440.94	751.8027			0.006212947
80	1.619	440.94	713.88186			0.004444647

### Kekuatan Material

Siklus	SF Random	Load (kN)	Load * SF	Avg	Std Dev	Dist
1	2.057	572	1176.604	1290.133	83.68011	0.00189933
2	2.274	572	1300.728			0.004729405
3	2.394	572	1369.368			0.003045059
4	2.288	572	1308.736			0.004651098
5	2.01	572	1149.72			0.001166521
6	2.478	572	1417.416			0.001499282
7	2.037	572	1165.164			0.001563115
8	2.16	572	1235.52			0.003852988
9	2.178	572	1245.816			0.004143662
10	2.061	572	1178.892			0.001970373
11	2.355	572	1347.06			0.003782604
12	2.119	572	1212.068			0.003085367
13	2.362	572	1351.064			0.003657268
14	2.417	572	1382.524			0.002591649
15	2.269	572	1297.868			0.004747142
16	2.308	572	1320.176			0.004469897
17	2.493	572	1425.996			0.00127605
18	2.457	572	1405.404			0.001846014
19	2.146	572	1227.512			0.003603171
20	2.075	572	1186.9			0.002227456
21	2.305	572	1318.46			0.004501981
22	2.01	572	1149.72			0.001166521
23	2.101	572	1201.772			0.002730045
24	2.034	572	1163.448			0.001515652
25	2.421	572	1384.812			0.00251364
26	2.218	572	1268.696			0.004613575
27	2.05	572	1172.6			0.001777913
28	2.338	572	1337.336			0.004066223
29	2.083	572	1191.476			0.002379349
30	2.213	572	1265.836			0.004570687
31	2.464	572	1409.408			0.001726283
32	2.286	572	1307.592			0.004664819
33	2.314	572	1323.608			0.004400857
34	2.144	572	1226.368			0.003566163
35	2.263	572	1294.436			0.004761168
36	2.003	572	1145.716			0.001075292
37	2.286	572	1307.592			0.004664819
38	2.11	572	1206.92			0.002907771
39	2.042	572	1168.024			0.00164401
40	2.427	572	1388.244			0.002397644

41	2.364	572	1352.208			0.003384701
42	2.357	572	1348.204			0.00352819
43	2.371	572	1356.212			0.003239136
44	2.267	572	1296.724			0.00484168
45	2.285	572	1307.02			0.004693749
46	2.316	572	1324.752			0.004284371
47	2.141	572	1224.652			0.003829594
48	2.265	572	1295.58			0.004853566
49	2.092	572	1196.624			0.00282379
50	2.264	572	1295.008			0.004859157
51	2.103	572	1202.916			0.003055318
52	2.14	572	1224.08			0.003810407
53	2.138	572	1222.936			0.003771756
54	2.125	572	1215.5			0.003512812
55	2.332	572	1333.904			0.004011444
56	2.245	572	1284.14			0.004919854
57	2.445	572	1398.54			0.001753072
58	2.234	572	1277.848			0.004914796
59	2.458	572	1405.976			0.001530139
60	2.339	572	1337.908			0.003881981
61	2.197	572	1256.684			0.004685979
62	2.099	572	1200.628			0.002971078
63	2.359	572	1349.348			0.003487452
64	2.054	572	1174.888			0.00205339
65	2.138	572	1222.936			0.003771756
66	2.184	572	1249.248			0.004534168
67	2.48	572	1418.56			0.001192457
68	2.225	572	1272.7			0.004888704
69	2.32	572	1327.04			0.004219485
70	2.007	572	1148.004			0.001253562
71	2.481	572	1419.132			0.001178343
72	2.041	572	1167.452			0.00181121
73	2.373	572	1357.356			0.003197275
74	2.15	572	1229.8			0.003997722
75	2.436	572	1393.392			0.001916694
76	2.027	572	1159.444			0.001567425
77	2.243	572	1282.996			0.004921139
78	2.205	572	1261.26			0.004761958
79	2.389	572	1366.508			0.002860698
80	2.475	572	1415.7			0.001264657

## BIODATA PENULIS



Penulis bernama lengkap Sarin Azistarini, dilahirkan dari keluarga sederhana di Pamekasan, 26 Maret 1995, merupakan anak pertama dari empat bersaudara pasangan Bapak dr. Ahmad Aziz dan Ibu Erma Sari, S.Sos. Yang beralamat di Desa Pejagan, Kecamatan Bangkalan, Kabupaten Bangkalan. Pendidikan formal pertama adalah SDN 3 Banyuajuh, SMPN 1 Kamal, SMAN 1 Bangkalan, dan berkuliah di D3 Teknik Mesin Produksi Kerjasama ITS-

DISNAKERTRANSDUK Prov. Jawa Timur melalui seleksi ujian masuk D3 pada tahun 2013. Kemudian penulis melanjutkan pendidikan Lintas Jalur di S1 Teknik Mesin ITS pada tahun 2016 dan terdaftar dengan NRP 02111645000060.

Di jurusan D3 Teknik Mesin Produksi Kerjasama ITS-DISNAKERTRANSDUK ini penulis mengambil spesialisasi di program studi Manufaktur sedangkan saat Lintas Jalur di S1 Teknik Mesin Penulis mengambil lab keahlian Otomasi Industri. Penulis dikenal aktif mengikuti kegiatan Program Kreativitas Mahasiswa ITS pada tahun 2013, 2014, dan 2015. Penulis sempat merasakan magang di PT. PAL INDONESIA (Persero) di Divisi Machinery and Assembly, dan Divisi General Engineering pada tahun 2015, dan di PT. YTL Jawa Timur di Divisi Material Handling pada tahun 2018. Selain itu, ketertarikan penulis terhadap dunia manufaktur mendorongnya berperan aktif untuk menerapkan keterampilannya di dalam maupun di luar kampus, yang disumbangkan dengan peran aktif di Organisasi Forum Komunikasi M3NER-ITS 2014-2016 sebagai anggota dan kepala departemen, serta mengikuti berbagai kegiatan kepanitiaan yang diadakan oleh ITS salah satunya yaitu GERIGI ITS 2014 dan GERIGI ITS 2015.